

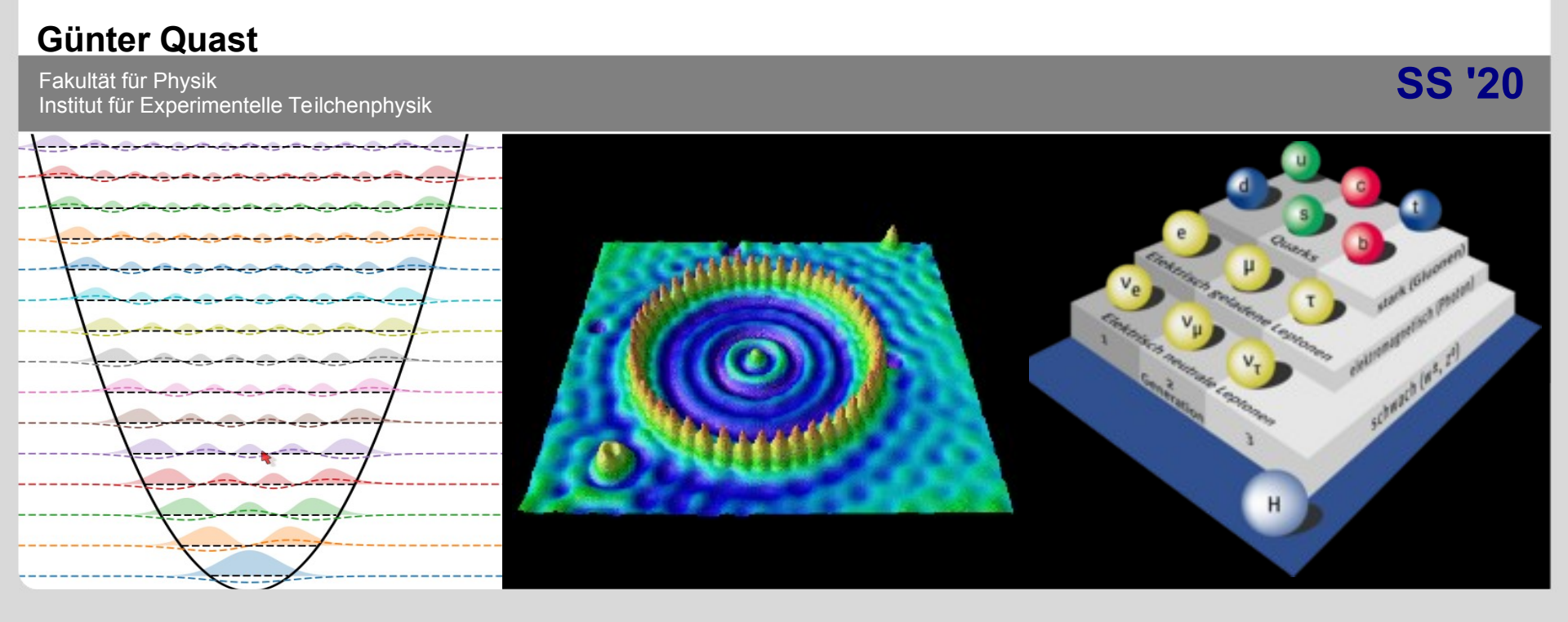


Diese Veranstaltung wir aufgezeichnet und als Medien-Cast über KIT - ILIAS bereit gestellt

Nur zur KIT-internen vorlesungsbegleitenden Nutzung, Weitergabe & anderweitige Verwendung ist untersagt

Vorlesung10 Moderne Physik (L)

Das Wasserstoffatom



Organisatorisches

Die Anmeldung zur Vorleistung ("Übungsschein")

ist im Campus-System freigeschaltet

Prüfungsnummer 7800067

Bitte anmelden

(und Feedback geben, wenn es für Sie nicht funktioniert!)

Organisatorisches

Die Anmeldung zur Vorleistung ("Übungsschein")

ist im Campus-System freigeschaltet

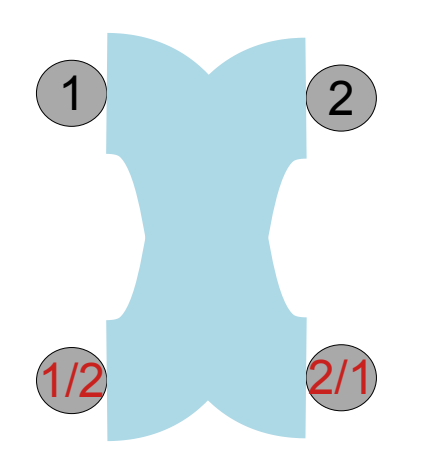
Prüfungsnummer 7800067

Bitte anmelden

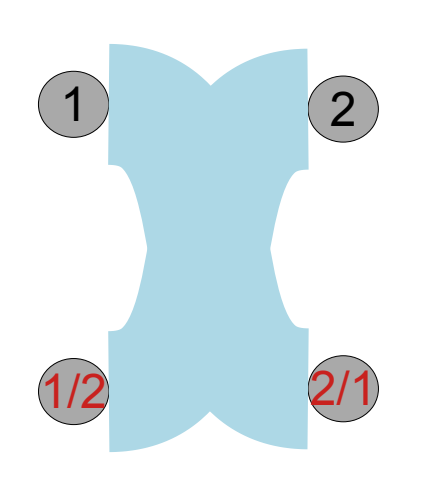
(und Feedback geben, wenn es für Sie nicht funktioniert!)

In der Anmeldung per E-Mail zur Kurseinteilung gab es zum Studiengang zwei mal die Angabe "sonstige".

Bitte an die Betroffenen, per E-Mail Frau Schäfer (daniela.schaefer@kit) und mir (guenter.quast@kit.edu) Information zu Studiengang und Prüfungsmodalitäten zukommen lassen.



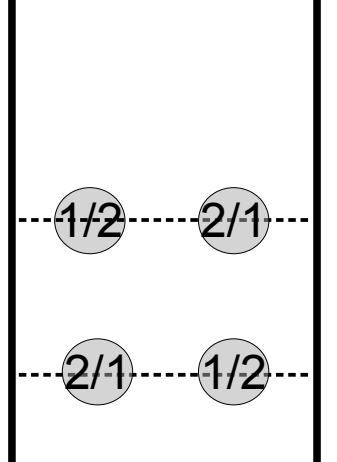
Zwei identische Quanten-Teilchen sind ununterscheidbar

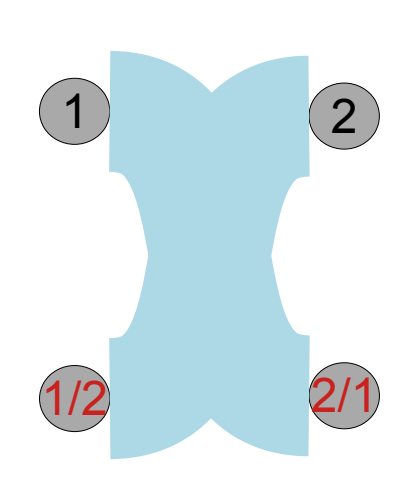


Zwei identische Quanten-Teilchen sind ununterscheidbar

Beispiel: 2 Teilchen im Potentialkasten:

$$|\psi_{n,m}(x_1,x_2)|^2 = |\psi_{n,m}(x_2,x_1)|^2$$



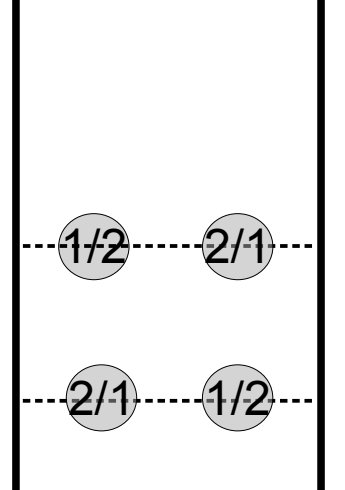


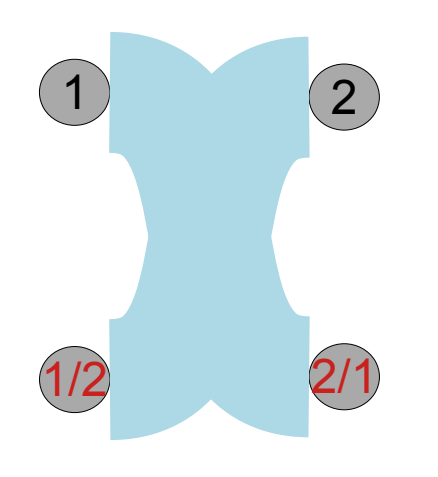
Zwei identische Quanten-Teilchen sind ununterscheidbar

Beispiel: 2 Teilchen im Potentialkasten:

$$|\psi_{n,m}(x_1,x_2)|^2 = |\psi_{n,m}(x_2,x_1)|^2$$

$$\Psi_{n,m}(x_1,x_2) = \Psi_n(x_1) \cdot \Psi_m(x_2)$$
 löst Schrödinger-Gleichung





Zwei identische Quanten-Teilchen sind ununterscheidbar

Beispiel: 2 Teilchen im Potentialkasten:

$$|\psi_{n,m}(x_1,x_2)|^2 = |\psi_{n,m}(x_2,x_1)|^2$$

$$- \boxed{\Psi_{n,m}(x_1,x_2) = \Psi_n(x_1) \cdot \Psi_m(x_2)}$$
löst Schrödinger-Gleichung

Ununterscheidbare Linearkombinationen:

$$\psi_{n,m}^{S}(x_1, x_2) = A(\psi_n(x_1)\psi_m(x_2) + \psi_n(x_2)\psi_m(x_1))$$

$$\psi_{n,m}^{A}(x_1, x_2) = A(\psi_n(x_1)\psi_m(x_2) - \psi_n(x_2)\psi_m(x_1))$$

- * +: Bosonen
- * -: Fermionen
- * $\Psi_{n,n} = 0$ für Fermionen: Pauli-Prinzip

1/2----2/1

-2/1 --- 1/2

Teilchen, die sich einmal in Wechselwirkung befunden haben und danach ungestört (ohne Messung) bleiben, werden durch eine gemeinsame Wellenfunktion beschrieben - ihre Zustände sind verschränkt.

Teilchen, die sich einmal in Wechselwirkung befunden haben und danach ungestört (ohne Messung) bleiben, werden durch eine gemeinsame Wellenfunktion beschrieben - ihre Zustände sind verschränkt.

Teilchen, die sich einmal in Wechselwirkung befunden haben und danach ungestört (ohne Messung) bleiben, werden durch eine gemeinsame Wellenfunktion beschrieben - ihre Zustände sind verschränkt.

Beispiel: Teilchen (1) und (2) mit Zuständen a und b:

verschränkter Zustand:
$$\psi_{a,b}(0,1)=\frac{1}{\sqrt{2}}\Big(\ket{a}_1\ket{b}_2+\ket{b}_1\ket{a}_2\Big)$$

Teilchen, die sich einmal in Wechselwirkung befunden haben und danach ungestört (ohne Messung) bleiben, werden durch eine gemeinsame Wellenfunktion beschrieben - ihre Zustände sind verschränkt.

Beispiel: Teilchen (1) und (2) mit Zuständen a und b:

verschränkter Zustand:
$$\psi_{a,b}(0,1)=rac{1}{\sqrt{2}}\Big(\ket{a}_1\ket{b}_2+\ket{b}_1\ket{a}_2\Big)$$

Beispiele: Photon-Spin → zirkulare oder transversale Photon-Polarisation,

Elektron-Spin, überlagerte gebundene Zustände

Teilchen, die sich einmal in Wechselwirkung befunden haben und danach ungestört (ohne Messung) bleiben, werden durch eine gemeinsame Wellenfunktion beschrieben - ihre Zustände sind verschränkt.

Beispiel: Teilchen (1) und (2) mit Zuständen a und b:

verschränkter Zustand:
$$\psi_{a,b}(0,1)=rac{1}{\sqrt{2}}\Big(\ket{a}_1\ket{b}_2+\ket{b}_1\ket{a}_2\Big)$$

 $\mbox{Beispiele: Photon-Spin} \rightarrow \mbox{zirkulare oder transversale Photon-Polarisation},$

Elektron-Spin, überlagerte gebundene Zustände

Eine Messung, d. h. Bestimmung des Zustands eines Teilchens, legt instantan auch den Zustand des verschränkten Partnerteilchens fest.

Teilchen, die sich einmal in Wechselwirkung befunden haben und danach ungestört (ohne Messung) bleiben, werden durch eine gemeinsame Wellenfunktion beschrieben - ihre Zustände sind verschränkt.

Beispiel: Teilchen (1) und (2) mit Zuständen a und b:

verschränkter Zustand:
$$\psi_{a,b}(0,1)=rac{1}{\sqrt{2}}\Big(\ket{a}_1\ket{b}_2+\ket{b}_1\ket{a}_2\Big)$$

Beispiele: Photon-Spin \rightarrow zirkulare oder transversale Photon-Polarisation,

Elektron-Spin, überlagerte gebundene Zustände

Eine Messung, d. h. Bestimmung des Zustands eines Teilchens, legt instantan auch den Zustand des verschränkten Partnerteilchens fest.

Verschränkung führt zu größeren Korrelationen zwischen Messungen an beiden Teilchen als es in alternativen Theorien (mit verborgenen Parametern) möglich wäre → Bell'sche Ungleichung.

Teilchen, die sich einmal in Wechselwirkung befunden haben und danach ungestört (ohne Messung) bleiben, werden durch eine gemeinsame Wellenfunktion beschrieben - ihre Zustände sind verschränkt.

Beispiel: Teilchen (1) und (2) mit Zuständen a und b:

verschränkter Zustand:
$$\psi_{a,b}(0,1)=rac{1}{\sqrt{2}}\Big(\ket{a}_1\ket{b}_2+\ket{b}_1\ket{a}_2\Big)$$

Beispiele: Photon-Spin → zirkulare oder transversale Photon-Polarisation, Elektron-Spin, überlagerte gebundene Zustände

Eine Messung, d. h. Bestimmung des Zustands eines Teilchens, legt instantan auch den Zustand des verschränkten Partnerteilchens fest.

Verschränkung führt zu größeren Korrelationen zwischen Messungen an beiden Teilchen als es in alternativen Theorien (mit verborgenen Parametern) möglich wäre → Bell'sche Ungleichung.

Bell'sche Ungleichung für zwei polarisations-verschränkte Photonen, die mit zwei Polarisatoren unter dem Differezwinkel φ gemessen werden:

$$-1 \leq 3 \cdot W(\varphi) - W(3\varphi) - 1 \leq 0$$

Teilchen, die sich einmal in Wechselwirkung befunden haben und danach ungestört (ohne Messung) bleiben, werden durch eine gemeinsame Wellenfunktion beschrieben - ihre Zustände sind verschränkt.

Beispiel: Teilchen (1) und (2) mit Zuständen a und b:

verschränkter Zustand:
$$\psi_{a,b}(0,1)=\frac{1}{\sqrt{2}}\Big(\ket{a}_1\ket{b}_2+\ket{b}_1\ket{a}_2\Big)$$

Beispiele: Photon-Spin → zirkulare oder transversale Photon-Polarisation, Elektron-Spin, überlagerte gebundene Zustände

Eine Messung, d. h. Bestimmung des Zustands eines Teilchens, legt instantan auch den Zustand des verschränkten Partnerteilchens fest.

Verschränkung führt zu größeren Korrelationen zwischen Messungen an beiden Teilchen als es in alternativen Theorien (mit verborgenen Parametern) möglich wäre → Bell'sche Ungleichung.

Bell'sche Ungleichung für zwei polarisations-verschränkte Photonen, die mit zwei Polarisatoren unter dem Differezwinkel φ gemessen werden:

$$-1 \leq 3 \cdot W(\varphi) - W(3\varphi) - 1 \leq 0$$

Quantenmechanik verletzt die Bell'sche Ungleichung; viele Bestätigungen seit 1982, immer noch aktuelles Forschungsthema.

Inhaltsübersicht VL Moderne Physik

- 1) Einführung
- 2) Wiederholung wichtiger Konzepte der klassischen Physik
- 3) Spezielle Relativitätstheorie
- 4) Schlüsselexperimente und Grundlagen der Quantenphysik
- 5) Die Schrödingergleichung
- 6) Anwendungen der Schrödingergleichung
- 7) Das Wasserstoff-Atom
- 8) Atome mit mehreren Elektronen
- 9) Wechselwirkung von Licht und Materie
- 10) Grundlagen der Festkörperphysik
- 11) Kern- und Teilchenphysik
- 12) Ausblick

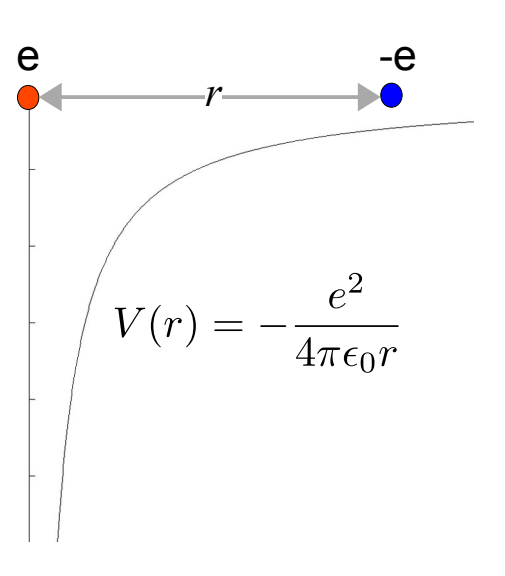
Das Wasserstoff-Atom

Wasserstoff (chem. Symb. H):

- das einfachste Atom
 - Kern bestehend aus einem **Proton** $m_p = 938 \text{ MeV/c}^2$
 - ein Elektron

 $m_p = 938 \text{ MeV/c}^2$ $m_e = 511 \text{ keV/c}^2$ $m_p / m_e = 1836 !$

■ einzige Kraft: Coulomb-Anziehung → Elektron im Coulomb-Potential des Protons

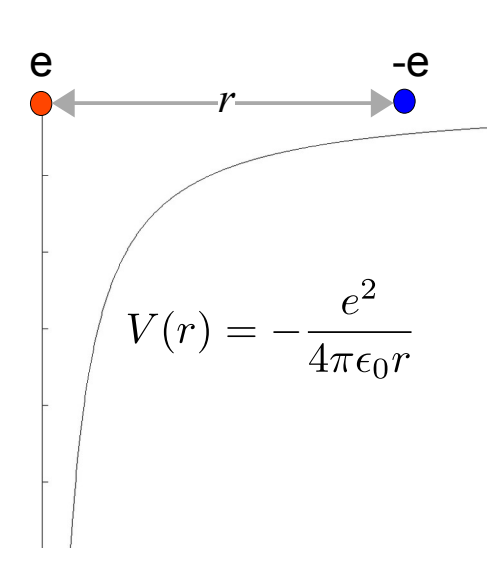


Das Wasserstoff-Atom

Wasserstoff (chem. Symb. H):

- das einfachste Atom
 - Kern bestehend aus einem **Proton** $m_p = 938 \text{ MeV/c}^2$
- ein **Elektron** $m_e = 511 \text{ keV/c}^2$
- einzige Kraft: Coulomb-Anziehung → Elektron im Coulomb-Potential des Protons

- bereits ein sehr kompliziertes Quantensystem
- Berechnung mit Schrödinger-Gleichung als sehr gute Näherung
- plus diverse Korrekturen



 $m_p / m_e = 1836 !$

Erinnerung V05: Bohrs Atommodell

Bohr'sches Modell =

Rutherford-Modell (schwerer, kleiner Kern und leichtes Elektron außen) + Postulate, um experimentelle Ergebnisse zu reproduzieren:

Die Bohr'schen Postulate:

- 1) Es gibt diskrete, stationäre Bahnen, auf denen Elektronen strahlungslos umlaufen.
- 2) (Frequenzbedingung) Beim Übergang zwischen zwei stationären Zuständen (Bahnen) wird die Energiedifferenz in Form von Photonen aufgenommen / abgegeben: $E=h\nu=E_n-E_m$
- 3) (Quantenbedingung) der Bahndrehimpuls nimmt nur Vielfache von \hbar an: $|\vec{L}|=|\vec{r}\times\vec{p}|=n\hbar=\frac{nh}{2\pi},\ n=1,2,3...$

Postulat 3 "erklärt" durch Materiewellen von de Broglie: "Elektron-Welle auf klassischer Kreisbahn!?"

Wasserstoff-Atom: Bohr'sches Modell

Historisch zunächst behandelt als Anwendung des Bohr'schen Atommodells:

- Bohrs Postulate + klassische Rechnung
- liefert korrekte Werte der diskreten Energieniveaus

$$E_n=-rac{1}{2}rac{m_e e^4}{(4\pi\epsilon_0)^2\hbar^2}\cdotrac{1}{n^2}$$
 mit Grundzustandsenergie $E_1=-13.6\,\mathrm{eV}$

experimentell überprüfbar durch Lage der Spektrallinien des Wasserstoffs:

$$E_{\gamma} = h\nu = \frac{hc}{\lambda} = E_1 \left(\frac{1}{n_1^2} - \frac{1}{n_2^2} \right)$$

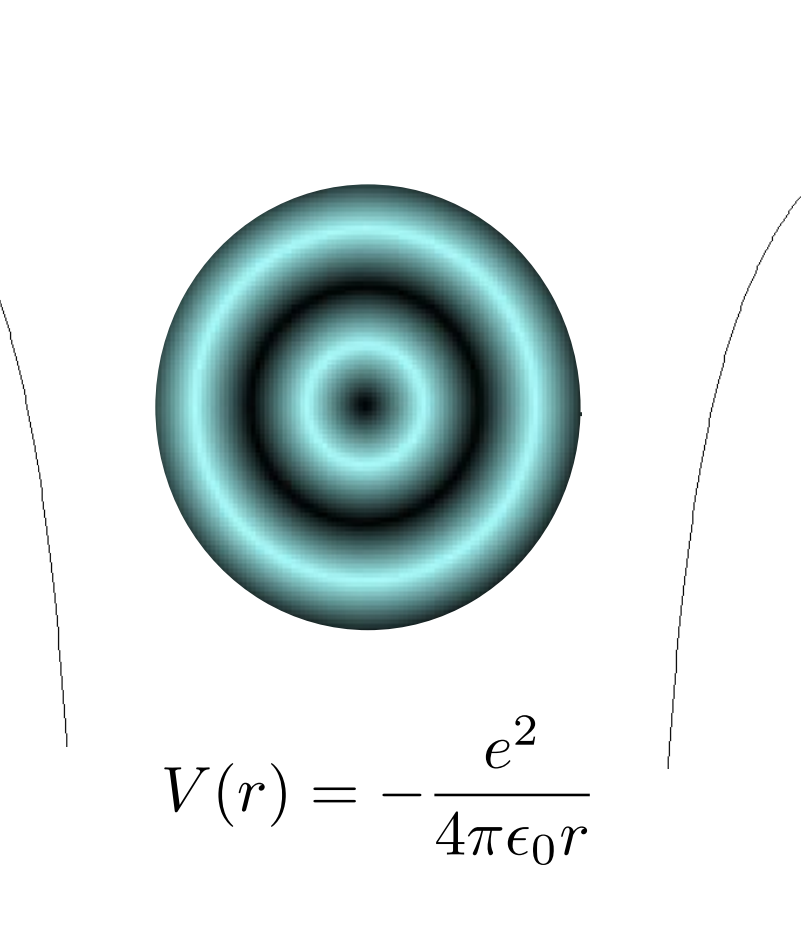
Der Radius der innersten Bohr'schen Bahn ist $\alpha_0 = \frac{4\pi\epsilon_0\hbar^2}{m e^2}$

$$\alpha_0 = \frac{4\pi\epsilon_0\hbar^2}{m_e e^2}$$

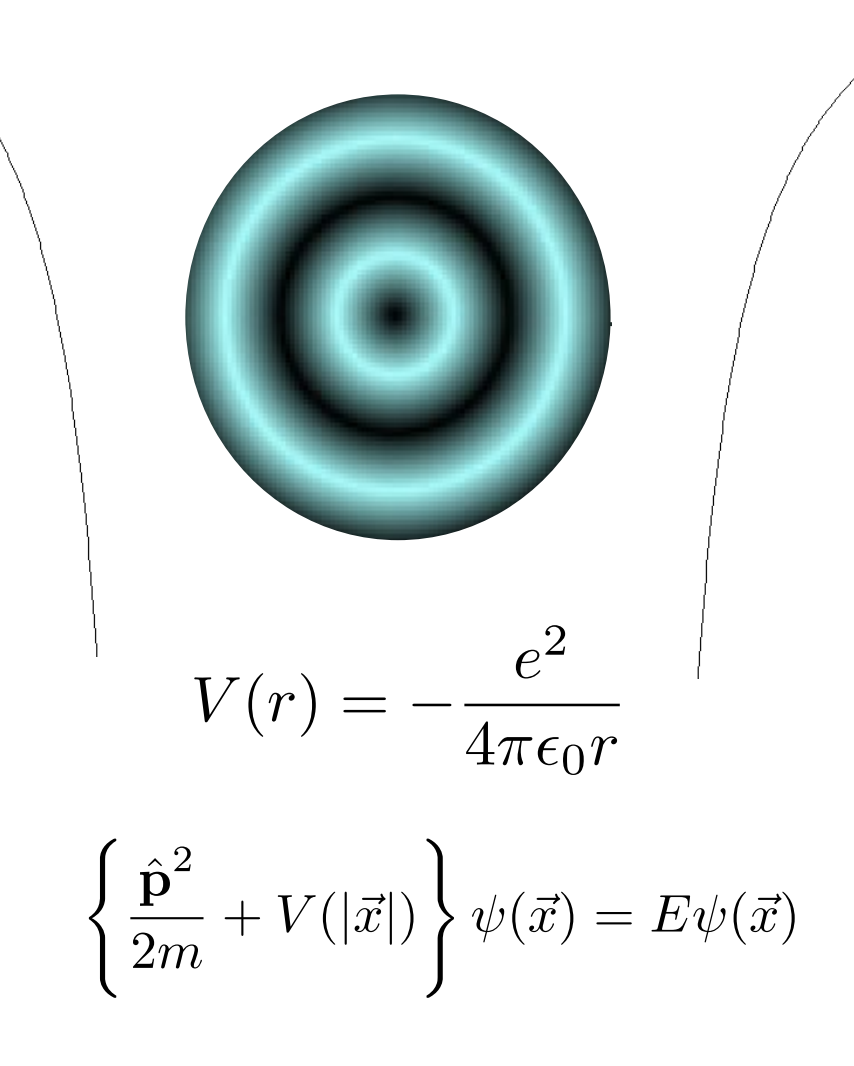
Bohr'scher Raduis, nur von fundamentalen Naturkonstanten abhängig

Der Bahnbegriff im Bohr'schen Modell ist aber in der Quantenmechanik nicht haltbar. Zur stabilen Lokalisierung eines Elektrons in der Nähe des Protons ist z.B. kein Drehimpuls notwendig (→ später)

Kugelwelle eingeschränkt durch Coulomb-Potential



Kugelwelle eingeschränkt durch Coulomb-Potential



Elektron im Coulomb-Potential des Protons:

- → Zweiteilchenproblem (analog Kepler-Problem)
- aus der klassischen Mechanik bekannt:

Behandlung im Schwerpunktsystem,

Einführung einer "reduzierten Masse" μ : $m_e \rightarrow \mu = \frac{m_e \, m_p}{m_e + m_p} \simeq m_e$

Elektron im Coulomb-Potential des Protons:

- → Zweiteilchenproblem (analog Kepler-Problem)
- aus der klassischen Mechanik bekannt: Behandlung im Schwerpunktsystem, Einführung einer "reduzierten Masse" μ : $m_e \to \mu = \frac{m_e \, m_p}{m_e + m_n} \simeq m_e$
- ullet Hamilton-Operator: $\hat{f H}=\left(-rac{\hbar^2}{2\mu} ec{
 abla}^2 rac{e^2}{4\pi\epsilon_0 r}
 ight)$
- Stationäre Schrödingergleichung: $\hat{\mathbf{H}}\psi(\vec{x}) = E\psi(\vec{x})$

7.1

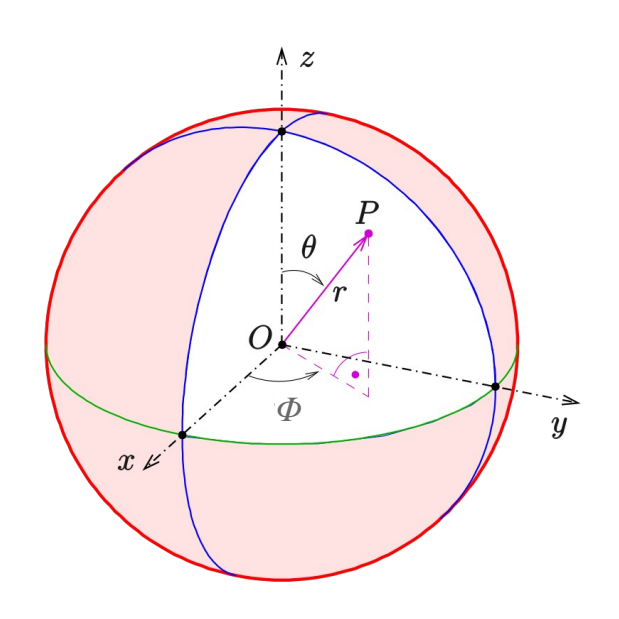
Schrödingergleichung für das H-Atom

Elektron im Coulomb-Potential des Protons:

- → Zweiteilchenproblem (analog Kepler-Problem)
- aus der klassischen Mechanik bekannt: Behandlung im Schwerpunktsystem, Einführung einer "reduzierten Masse" μ : $m_e \to \mu = \frac{m_e \, m_p}{m_e + m_n} \simeq m_e$
- ullet Hamilton-Operator: $\hat{\mathbf{H}}=\left(-rac{\hbar^2}{2\mu}\vec{
 abla}^2-rac{e^2}{4\pi\epsilon_0 r}
 ight)$
- Stationäre Schrödingergleichung: $\hat{\mathbf{H}}\psi(\vec{x}) = E\psi(\vec{x})$
- Kugelsymmetrie des Problems
 - \rightarrow Kugelkoordinaten

$$\vec{x} = \begin{pmatrix} x \\ y \\ z \end{pmatrix} = \begin{pmatrix} r\sin\Theta\cos\Phi \\ r\sin\Theta\sin\Phi \\ r\cos\Theta \end{pmatrix}$$

$$\text{mit } r^2 = x^2 + y^2 + z^2$$



7.1

Schrödingergleichung für das H-Atom

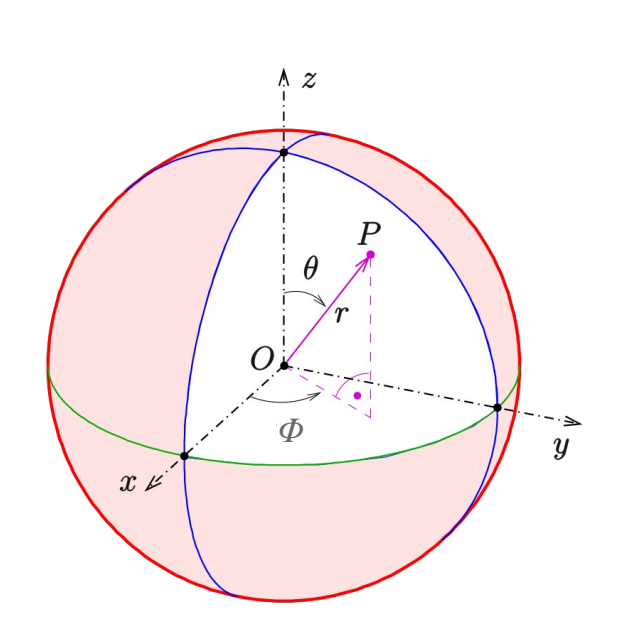
Elektron im Coulomb-Potential des Protons:

- → Zweiteilchenproblem (analog Kepler-Problem)
- aus der klassischen Mechanik bekannt: Behandlung im Schwerpunktsystem, Einführung einer "reduzierten Masse" μ : $m_e \to \mu = \frac{m_e \, m_p}{m_o + m_m} \simeq m_e$
- ullet Hamilton-Operator: $\hat{\mathbf{H}}=\left(-rac{\hbar^2}{2\mu}\vec{
 abla}^2-rac{e^2}{4\pi\epsilon_0 r}
 ight)$
- Stationäre Schrödingergleichung: $\hat{\mathbf{H}}\psi(\vec{x}) = E\psi(\vec{x})$
- Kugelsymmetrie des Problems
 - → Kugelkoordinaten

$$\vec{x} = \begin{pmatrix} x \\ y \\ z \end{pmatrix} = \begin{pmatrix} r \sin \Theta \cos \Phi \\ r \sin \Theta \sin \Phi \\ r \cos \Theta \end{pmatrix}$$

$$\text{mit } r^2 = x^2 + y^2 + z^2$$

Volumenelement: $dV = r^2 \sin \Theta \, dr \, d\Theta \, d\Phi$



Benötigen partielle Ableitungen nach r, Θ, und Φ

→ Laplace-Operator in Kugelkoordinaten

Benötigen partielle Ableitungen nach r, Θ, und Φ

→ Laplace-Operator in Kugelkoordinaten

$$\vec{\nabla}^2 = \underbrace{\frac{1}{r^2} \frac{\partial}{\partial r} \left(r^2 \frac{\partial}{\partial r} \right)}_{\text{Radialteil}} + \underbrace{\frac{1}{r^2 \sin \Theta} \frac{\partial}{\partial \Theta} \left(\sin \Theta \frac{\partial}{\partial \Theta} \right) + \frac{1}{r^2 \sin^2 \Theta} \frac{\partial^2}{\partial \Phi^2}}_{\text{Winkelteil}}$$

Benötigen partielle Ableitungen nach r, Θ, und Φ

→ Laplace-Operator in Kugelkoordinaten

$$\vec{\nabla}^2 = \underbrace{\frac{1}{r^2} \frac{\partial}{\partial r} \left(r^2 \frac{\partial}{\partial r} \right)}_{\text{Radialteil}} + \underbrace{\frac{1}{r^2 \sin \Theta} \frac{\partial}{\partial \Theta} \left(\sin \Theta \frac{\partial}{\partial \Theta} \right) + \frac{1}{r^2 \sin^2 \Theta} \frac{\partial^2}{\partial \Phi^2}}_{\text{Winkelteil}}$$

Separationsansatz: $\psi(r, \Theta, \Phi) = R(r) \cdot T(\Theta) \cdot P(\Phi)$

Benötigen partielle Ableitungen nach r, Θ, und Φ

→ Laplace-Operator in Kugelkoordinaten

$$\vec{\nabla}^2 = \underbrace{\frac{1}{r^2} \frac{\partial}{\partial r} \left(r^2 \frac{\partial}{\partial r} \right)}_{\text{Radialteil}} + \underbrace{\frac{1}{r^2 \sin \Theta} \frac{\partial}{\partial \Theta} \left(\sin \Theta \frac{\partial}{\partial \Theta} \right) + \frac{1}{r^2 \sin^2 \Theta} \frac{\partial^2}{\partial \Phi^2}}_{\text{Winkelteil}}$$
Winkelteil

Separationsansatz: $\psi(r, \Theta, \Phi) = R(r) \cdot T(\Theta) \cdot P(\Phi)$

$$\rightarrow \frac{1}{r^2} \frac{\partial}{\partial r} \left(r^2 \frac{\partial R}{\partial r} \right) \cdot T \cdot P + \frac{1}{r^2 \sin \Theta} \frac{\partial}{\partial \Theta} \left(\sin \Theta \frac{\partial T}{\partial \Theta} \right) \cdot R \cdot P$$

$$+ \frac{1}{r^2 \sin^2 \Theta} \frac{\partial^2 P}{\partial \Phi^2} \cdot R \cdot T + \frac{2\mu}{\hbar^2} \left(E - V(r) \right) RTP = 0$$

- Winkelanteil ist universell für alle kugelsymmetrischen Potentiale V(r)
- analytisch exakt berechenbar,
 aber mit sehr viel Schreibaufwand verbunden (s. z. B. Demtröder, Physik 3)

daher hier nur eine **Lösungsskizze**:

- Winkelanteil ist universell für alle kugelsymmetrischen Potentiale V(r)
- analytisch exakt berechenbar,
 aber mit sehr viel Schreibaufwand verbunden (s. z. B. Demtröder, Physik 3)

daher hier nur eine Lösungsskizze:

ullet zunächst Φ -abhängigen Teil abseparieren:

$$\longrightarrow$$
 $-\frac{1}{P}\frac{\partial^2 P}{\partial \Phi^2} = C_1$ C_1 : Konstante bzgl. Φ

- Winkelanteil ist universell für alle kugelsymmetrischen Potentiale V(r)
- analytisch exakt berechenbar,
 aber mit sehr viel Schreibaufwand verbunden (s. z. B. Demtröder, Physik 3)

daher hier nur eine Lösungsskizze:

ullet zunächst Φ -abhängigen Teil abseparieren:

$$\rightarrow$$
 $-\frac{1}{P}\frac{\partial^2 P}{\partial \Phi^2} = C_1$ C₁: Konstante bzgl. Φ

Ausnutzen der Periodizität von Φ :

$$P(\Phi) = A \exp(im\Phi) \text{ mit } m = \sqrt{C_1} \in \mathbb{Z}$$

Normierung auf Intervall [0, 2π] $\rightarrow A = \sqrt{\frac{1}{2\pi}}$

- Winkelanteil ist universell für alle kugelsymmetrischen Potentiale V(r)
- analytisch exakt berechenbar,
 aber mit sehr viel Schreibaufwand verbunden (s. z. B. Demtröder, Physik 3)

daher hier nur eine Lösungsskizze:

■ zunächst Ф-abhängigen Teil abseparieren:

$$\rightarrow -\frac{1}{P}\frac{\partial^2 P}{\partial \Phi^2} = C_1$$
 C₁: Konstante bzgl. Φ

Ausnutzen der Periodizität von Φ :

$$P(\varPhi) = A \exp(im\varPhi) \ \mathrm{mit} \ m = \sqrt{C_1} \in \mathbb{Z}$$
 Normierung auf Intervall [0, 2π] $ightarrow \ A = \sqrt{rac{1}{2\pi}}$

■ Einsetzen von C₁ für P(Φ) in S-GI.

$$\longrightarrow -\frac{1}{\sin\Theta} \frac{1}{T} \frac{\partial}{\partial\Theta} \left(\sin\Theta \frac{\partial T}{\partial\Theta} \right) + \frac{m^2}{\sin^2\Theta} = C_2$$
 Dgl. für T(Θ), C₂: Konstante bzgl. Θ

mit der Ersetzung
$$t = \cos\Theta \, \mathrm{und} \, \mathrm{damit} \, \frac{\partial t}{\partial\Theta} = -\sin(\Theta))$$

mit der Ersetzung
$$t = \cos\Theta \, \mathrm{und} \, \mathrm{damit} \, \frac{\partial t}{\partial\Theta} = -\sin(\Theta))$$

$$\longrightarrow -\frac{\partial}{\partial t} \left((1 - t^2) \frac{\partial}{\partial t} \right) T + \frac{m^2}{1 - t^2} = C_2 T$$

Legendre'sche Differentialgleichung, lösbar durch Potenzreihenansatz

mit der Ersetzung $t = \cos\Theta \, \mathrm{und} \, \mathrm{damit} \, \frac{\partial t}{\partial \Theta} = -\sin(\Theta)$

$$\longrightarrow -\frac{\partial}{\partial t} \left((1 - t^2) \frac{\partial}{\partial t} \right) T + \frac{m^2}{1 - t^2} = C_2 T$$

Legendre'sche Differentialgleichung, lösbar durch Potenzreihenansatz

→ Legendre-Polynome:

$$T_{l,m} = P_l^m(\cos\Theta) \operatorname{mit} C_2 = l(l+1) \operatorname{und} - l \le m \le l$$

mit der Ersetzung $t = \cos\Theta \text{ und damit } \frac{\partial t}{\partial\Theta} = -\sin(\Theta)$

$$\longrightarrow -\frac{\partial}{\partial t} \left((1 - t^2) \frac{\partial}{\partial t} \right) T + \frac{m^2}{1 - t^2} = C_2 T$$

Legendre'sche Differentialgleichung, lösbar durch Potenzreihenansatz

→ Legendre-Polynome:

$$T_{l,m} = P_l^m(\cos\Theta) \operatorname{mit} C_2 = l(l+1) \operatorname{und} - l \le m \le l$$

damit: Lösung für den gesamten Winkelanteil:

$$\overline{Y_l^m(\Theta, \Phi)} = P_l^m(\cos\Theta) \cdot P_m(\Phi)$$

"Kugelflächenfunktionen" (engl. "Spherical Harmonics")

mit der Ersetzung $t = \cos\Theta \text{ und damit } \frac{\partial t}{\partial\Theta} = -\sin(\Theta)$

$$\longrightarrow -\frac{\partial}{\partial t} \left((1 - t^2) \frac{\partial}{\partial t} \right) T + \frac{m^2}{1 - t^2} = C_2 T$$

Legendre'sche Differentialgleichung, lösbar durch Potenzreihenansatz

→ Legendre-Polynome:

$$T_{l,m} = P_l^m(\cos\Theta) \operatorname{mit} C_2 = l(l+1) \operatorname{und} - l \le m \le l$$

damit: Lösung für den gesamten Winkelanteil:

$$\overline{Y_l^m(\Theta, \Phi)} = P_l^m(\cos\Theta) \cdot P_m(\Phi)$$

"Kugelflächenfunktionen" (engl. "Spherical Harmonics")

Normierung, so dass
$$\int_0^\pi \mathrm{d}\Theta \sin\Theta \int_0^{2\pi} \mathrm{d}\Phi \, Y_{l'}^{n'} Y_l^n = \delta_{l,l'} \, \delta_{m,m'} \quad \text{also 1 für m=m' und l =l', sonst 0}$$

mit der Ersetzung $t = \cos\Theta \text{ und damit } \frac{\partial t}{\partial\Theta} = -\sin(\Theta)$

$$\longrightarrow -\frac{\partial}{\partial t} \left((1 - t^2) \frac{\partial}{\partial t} \right) T + \frac{m^2}{1 - t^2} = C_2 T$$

Legendre'sche Differentialgleichung, lösbar durch Potenzreihenansatz

→ Legendre-Polynome:

$$T_{l,m} = P_l^m(\cos\Theta) \operatorname{mit} C_2 = l(l+1) \operatorname{und} - l \le m \le l$$

damit: Lösung für den gesamten Winkelanteil:

$$\overline{Y_l^m(\Theta, \Phi)} = P_l^m(\cos\Theta) \cdot P_m(\Phi)$$

"Kugelflächenfunktionen" (engl. "Spherical Harmonics")

Normierung, so dass
$$\int_0^\pi d\Theta \sin\Theta \int_0^{2\pi} d\Phi \, Y_{l'}^{n'} Y_l^n = \delta_{l,l'} \, \delta_{m,m'} \quad \text{also 1 für m=m' und l =l', sonst 0}$$

aktueller Zwischenstand: $\psi(r,\Theta,\varPhi)=R(r)\cdot Y_l^m(\Theta,\varPhi)$

https://de.wikipedia.org/wiki/Kugelflächenfunktionen

Kugelflächenfunktionen

Die ersten Kugelflächenfunktionen

Y _{lm}	I = 0	I = 1	I = 2	I = 3
m = -3				$\sqrt{rac{35}{64\pi}} \sin^3 artheta e^{-3\mathrm{i}arphi}$
m = -2			$\sqrt{rac{15}{32\pi}}\sin^2arthetae^{-2\mathrm{i}arphi}$	$\sqrt{\frac{105}{32\pi}}\sin^2\vartheta\cos\varthetae^{-2\mathrm{i}\varphi}$
m = -1		$\sqrt{rac{3}{8\pi}}\sinarthetae^{-\mathrm{i}arphi}$	$\sqrt{rac{15}{8\pi}}\sinartheta\cosarthetae^{-\mathrm{i}arphi}$	$\sqrt{rac{21}{64\pi}}\sinartheta\left(5\cos^2artheta-1 ight)e^{-\mathrm{i}arphi}$
m = 0	$\sqrt{\frac{1}{4\pi}}$	$\sqrt{\frac{3}{4\pi}}\cos\vartheta$	$\sqrt{rac{5}{16\pi}}\left(3\cos^2artheta-1 ight)$	$\sqrt{rac{7}{16\pi}}\left(5\cos^3\vartheta-3\cos\vartheta ight)$
m = 1		$-\sqrt{rac{3}{8\pi}}\sinarthetae^{\mathrm{i}arphi}$	$-\sqrt{rac{15}{8\pi}}\sinartheta\cosarthetae^{\mathrm{i}arphi}$	$-\sqrt{\frac{21}{64\pi}}\sin\vartheta\left(5\cos^2\vartheta-1\right)e^{\mathrm{i}\varphi}$
m = 2			$\sqrt{rac{15}{32\pi}} \sin^2 artheta e^{2\mathrm{i}arphi}$	$\sqrt{\frac{105}{32\pi}}\sin^2\vartheta\cos\varthetae^{2\mathrm{i}\varphi}$
m = 3				$-\sqrt{\frac{35}{64\pi}}\sin^3\varthetae^{3\mathrm{i}arphi}$

Kugelflächenfunktionen

Die ersten Kugelflächenfunktionen

.,				
Y _{lm}	I = 0	I = 1	I = 2	I = 3
m = -3				$\sqrt{rac{35}{64\pi}} \sin^3 artheta e^{-3\mathrm{i}arphi}$
m = -2			$\sqrt{rac{15}{32\pi}}\sin^2arthetae^{-2\mathrm{i}arphi}$	$\sqrt{\frac{105}{32\pi}}\sin^2\vartheta\cos\varthetae^{-2\mathrm{i}\varphi}$
m = -1		$\sqrt{\tfrac{3}{8\pi}}\sin\varthetae^{-\mathrm{i}\varphi}$	$\sqrt{rac{15}{8\pi}}\sinartheta\cosarthetae^{-\mathrm{i}arphi}$	$\sqrt{rac{21}{64\pi}}\sinartheta\left(5\cos^2artheta-1 ight)e^{-\mathrm{i}arphi}$
m = 0	$\sqrt{\frac{1}{4\pi}}$	$\sqrt{\frac{3}{4\pi}}\cos\vartheta$	$\sqrt{rac{5}{16\pi}}\left(3\cos^2artheta-1 ight)$	$\sqrt{rac{7}{16\pi}}\left(5\cos^3\vartheta - 3\cos\vartheta ight)$
m = 1		$-\sqrt{\tfrac{3}{8\pi}}\sin\varthetae^{\mathrm{i}\varphi}$	$-\sqrt{rac{15}{8\pi}}\sinartheta\cosarthetae^{\mathrm{i}arphi}$	$-\sqrt{\frac{21}{64\pi}}\sin\vartheta\left(5\cos^2\vartheta-1\right)e^{\mathrm{i}\varphi}$
m = 2			$\sqrt{rac{15}{32\pi}}\sin^2arthetae^{2\mathrm{i}arphi}$	$\sqrt{\frac{105}{32\pi}}\sin^2\vartheta\cos\varthetae^{2\mathrm{i}\varphi}$
m = 3				$-\sqrt{\frac{35}{64\pi}}\sin^3\varthetae^{3\mathrm{i}arphi}$

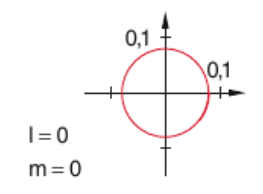
Allgemein für $l \ge 0$ und $-l \le m \le l$:

$$Y_l^m(\Theta, \Phi) = \sqrt{\frac{2l+1}{4\pi} \frac{(l-m)!}{(l+m)!}} P_l^m(\cos \Theta) \exp(im\Phi)$$

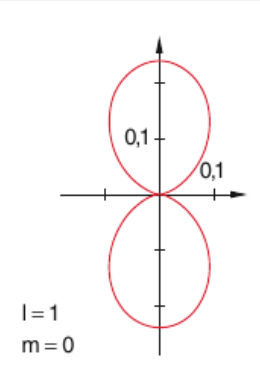
für negative m:

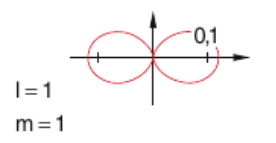
$$P_l^{-m}(\cos\Theta) = (-1)^m \frac{(l-m)!}{(l+m)!} P_l^m(\cos\Theta)$$

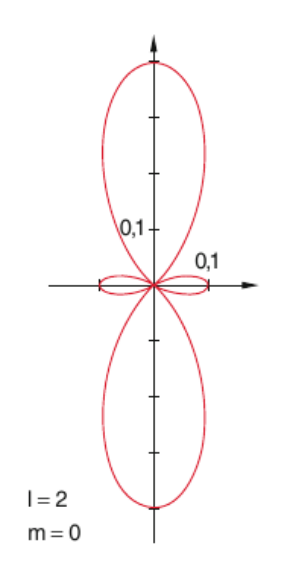
Grafische Darstellung der Kugelflächenfunktionen

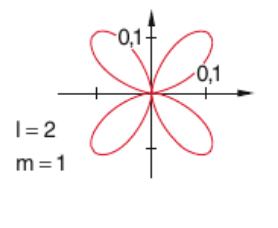


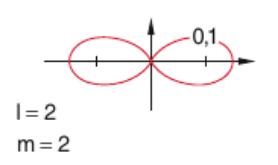
Polardarstellung des Betragsquadrats einiger Kugelflächenfunktionen

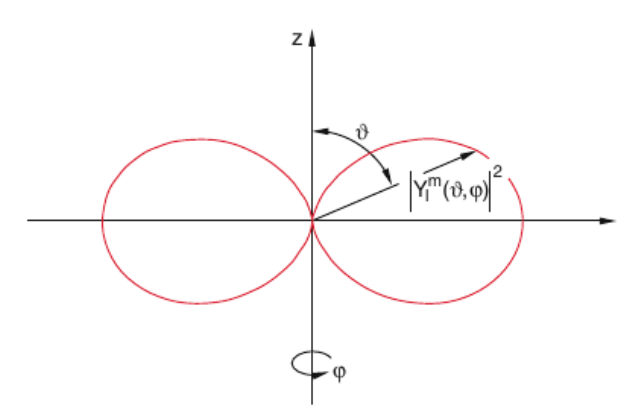




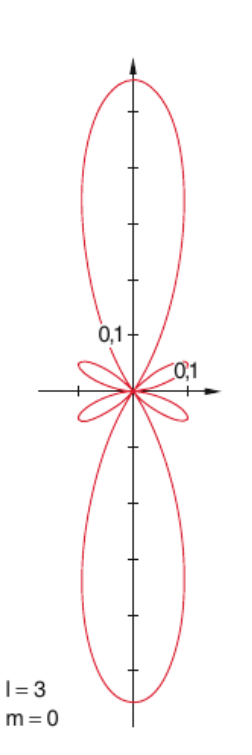


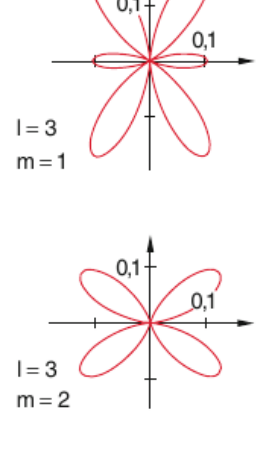


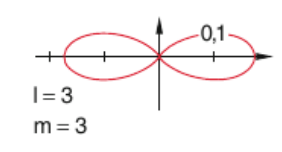




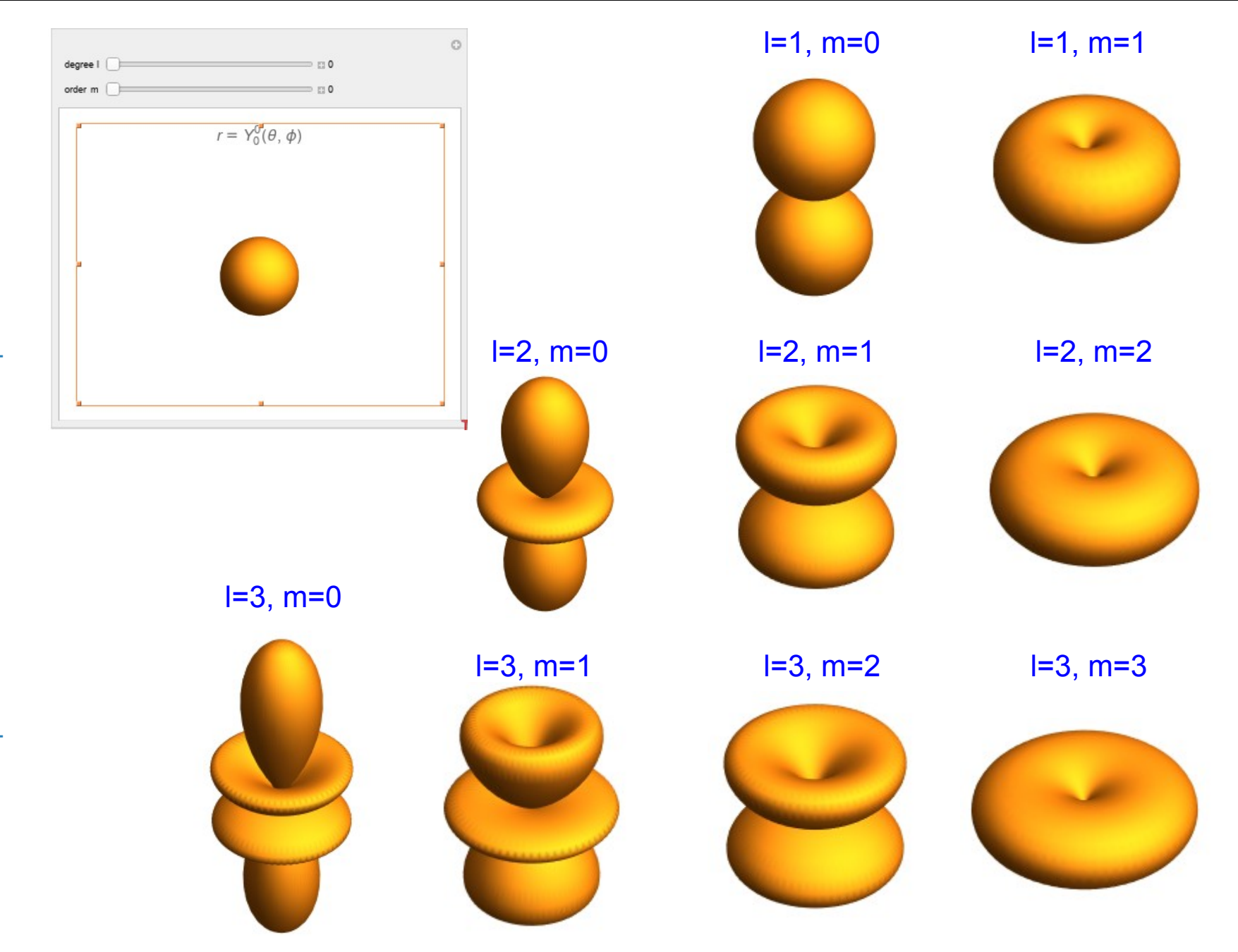
- Länge des Vektors gibt |Y_I^m|² an;
- Diagramme sind rotationssymmetrisch um die z-Achse.







Kugelflächenfunktionen interaktiv



Einschub: Kugelflächenfunktionen

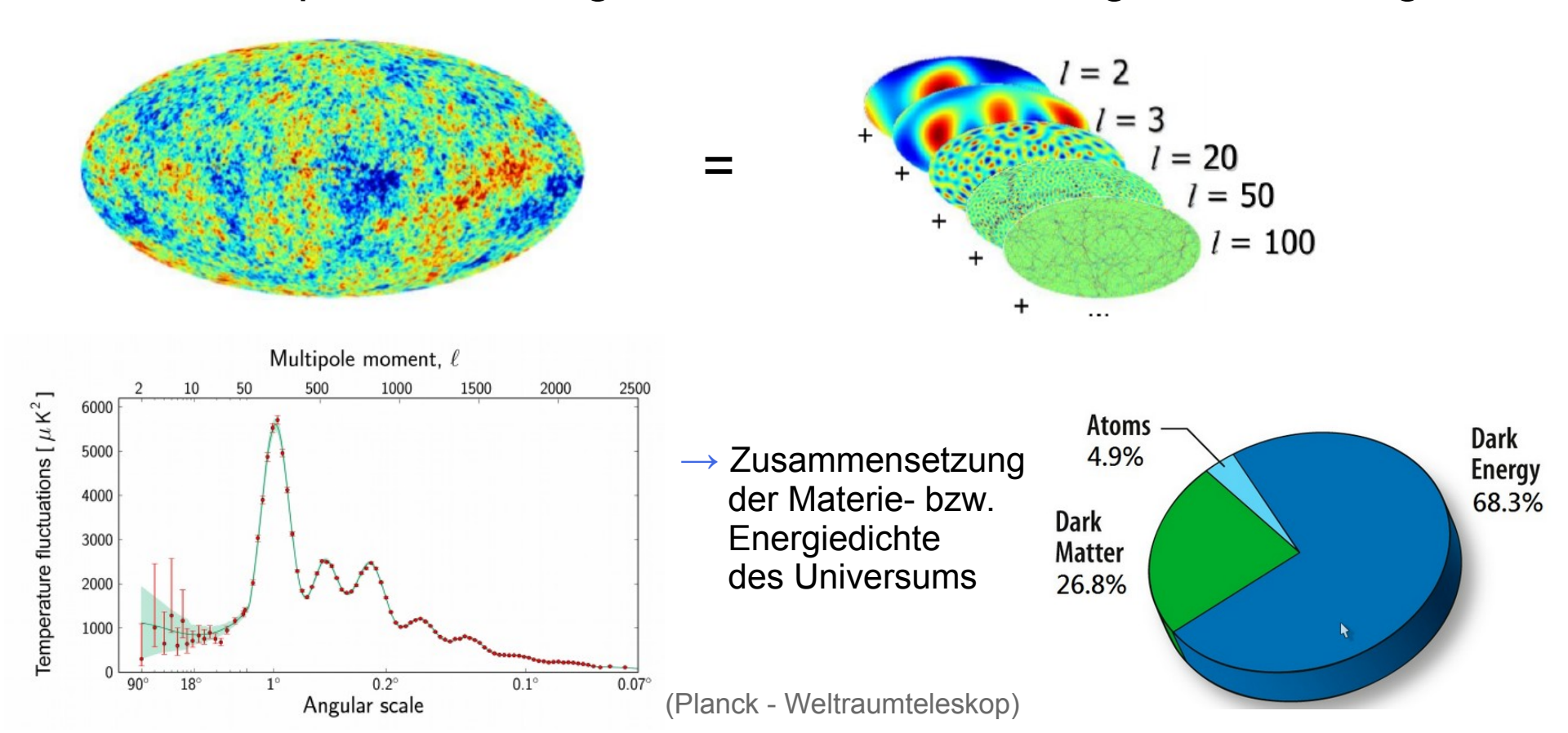
Vielfältige Anwendungen in der Physik:

- hier: Form der Orbitale im H-Atom
- allgemein: Entwicklung kugelsymmetrischer Verteilungen nach Multipolen

 → Monopol, Dipol, Quadrupol,...

Aktuelles Beispiel:

Multipolentwicklung der kosmischen Hintergrundstrahlung



Pause

und Zeit für Fragen?

Was ist die physikalische Bedeutung der Quantenzahlen l und m?

Angelehnt an die klassische Physik vermuten wir, dass bei Zentralpotentialen auch in der Quantenphysik der **Drehimpuls** eine Rolle spielt.

Was ist die physikalische Bedeutung der Quantenzahlen l und m?

Angelehnt an die klassische Physik vermuten wir, dass bei Zentralpotentialen auch in der Quantenphysik der **Drehimpuls** eine Rolle spielt.

Wie sieht also der Drehimpulsoperator aus?

Was ist die physikalische Bedeutung der Quantenzahlen l und m?

Angelehnt an die klassische Physik vermuten wir, dass bei Zentralpotentialen auch in der Quantenphysik der **Drehimpuls** eine Rolle spielt.

Wie sieht also der Drehimpulsoperator aus?

$$\vec{L} = \vec{x} \times \vec{p} \rightarrow \hat{\mathbf{L}} = \hat{\mathbf{x}} \times \hat{\mathbf{p}} = -i\hbar \vec{x} \times \vec{\nabla}$$

Was ist die physikalische Bedeutung der Quantenzahlen l und m?

Angelehnt an die klassische Physik vermuten wir, dass bei Zentralpotentialen auch in der Quantenphysik der **Drehimpuls** eine Rolle spielt.

Wie sieht also der Drehimpulsoperator aus?

$$\vec{L} = \vec{x} imes \vec{p} o \hat{\mathbf{L}} = \hat{\mathbf{x}} imes \hat{\mathbf{p}} = -i\hbar \vec{x} imes \vec{\nabla}$$

$$\begin{pmatrix} \hat{\mathbf{L}_{\mathbf{x}}} \\ \hat{\mathbf{L}_{\mathbf{y}}} \end{pmatrix} = \frac{h}{i} \begin{pmatrix} y \frac{\partial}{\partial z} - z \frac{\partial}{\partial y} \\ z \frac{\partial}{\partial x} - x \frac{\partial}{\partial z} \\ x \frac{\partial}{\partial z} - y \frac{\partial}{\partial z} \end{pmatrix}$$

Was ist die physikalische Bedeutung der Quantenzahlen l und m?

Angelehnt an die klassische Physik vermuten wir, dass bei Zentralpotentialen auch in der Quantenphysik der **Drehimpuls** eine Rolle spielt.

Wie sieht also der Drehimpulsoperator aus?

$$\vec{L} = \vec{x} imes \vec{p}
ightarrow \hat{\mathbf{L}} = \hat{\mathbf{x}} imes \hat{\mathbf{p}} = -i\hbar \vec{x} imes \vec{\nabla}$$

$$\begin{pmatrix} \hat{\mathbf{L}_{\mathbf{x}}} \\ \hat{\mathbf{L}_{\mathbf{y}}} \end{pmatrix} = \frac{h}{i} \begin{pmatrix} y \frac{\partial}{\partial z} - z \frac{\partial}{\partial y} \\ z \frac{\partial}{\partial x} - x \frac{\partial}{\partial z} \\ x \frac{\partial}{\partial z} - y \frac{\partial}{\partial z} \end{pmatrix}$$

 $\left(\hat{\mathbf{L}_{\mathbf{z}}} \right) \qquad {}^{i} \left(x \frac{\partial \hat{\boldsymbol{\sigma}}}{\partial y} - y \frac{\partial \hat{\boldsymbol{\sigma}}}{\partial x} \right)$

umschreiben in Kugelkoordinaten:

$$\hat{\mathbf{L}} = \frac{h}{i} \begin{pmatrix} -\sin \Phi \frac{\partial}{\partial \Theta} - \frac{\cos \Theta \cos \Phi}{\sin \Theta} \frac{\partial}{\partial \Phi} \\ -\cos \Phi \frac{\partial}{\partial \Theta} - \frac{\cos \Theta \sin \Phi}{\sin \Theta} \frac{\partial}{\partial \Phi} \\ \frac{\partial}{\partial \Phi} \end{pmatrix}$$

$$\hat{\mathbf{L}^2} = \hat{\mathbf{L}_x^2} + \hat{\mathbf{L}_y^2} + \hat{\mathbf{L}_z^2} = -\hbar^2 \left(\frac{1}{\sin \Theta} \frac{\partial}{\partial \Theta} \left(\sin \Theta \frac{\partial}{\partial} \right) + \frac{1}{\sin^2 \Theta} \frac{\partial^2}{\partial \Phi^2} \right)$$

 $= r^2 \cdot \text{Winkelteil des Laplace-Operators}!$

$$\hat{\mathbf{L}^2} = \hat{\mathbf{L}_x^2} + \hat{\mathbf{L}_y^2} + \hat{\mathbf{L}_z^2} = -\hbar^2 \left(\frac{1}{\sin \Theta} \frac{\partial}{\partial \Theta} \left(\sin \Theta \frac{\partial}{\partial} \right) + \frac{1}{\sin^2 \Theta} \frac{\partial^2}{\partial \Phi^2} \right)$$

 $= r^2 \cdot \text{Winkelteil des Laplace-Operators}!$

 \longrightarrow Winkelteil der Wellenfunktion, $Y_l^m(\Theta, \Phi)$ = Eigenfunktion von $\hat{\mathbf{L^2}}$

$$\hat{\mathbf{L}^2} = \hat{\mathbf{L}_x^2} + \hat{\mathbf{L}_y^2} + \hat{\mathbf{L}_z^2} = -\hbar^2 \left(\frac{1}{\sin \Theta} \frac{\partial}{\partial \Theta} \left(\sin \Theta \frac{\partial}{\partial} \right) + \frac{1}{\sin^2 \Theta} \frac{\partial^2}{\partial \Phi^2} \right)$$

 $= r^2 \cdot \text{Winkelteil des Laplace-Operators}!$

 \longrightarrow Winkelteil der Wellenfunktion, $Y_l^m(\Theta, \Phi)$ = Eigenfunktion von $\hat{\mathbf{L^2}}$

Mit dieser Einsicht können wir leicht Erwartungswerte von $\hat{\mathbf{L^2}}$ ausrechnen:

$$\left\langle \vec{L}^{2}\right\rangle = \int dx^{3} \psi^{*} \hat{\mathbf{L}^{2}} \psi = \ell(\ell+1) \cdot \hbar^{2}, \ \ell \in \mathbb{N}_{0}$$

$$\hat{\mathbf{L}^2} = \hat{\mathbf{L}_x^2} + \hat{\mathbf{L}_y^2} + \hat{\mathbf{L}_z^2} = -\hbar^2 \left(\frac{1}{\sin \Theta} \frac{\partial}{\partial \Theta} \left(\sin \Theta \frac{\partial}{\partial} \right) + \frac{1}{\sin^2 \Theta} \frac{\partial^2}{\partial \Phi^2} \right)$$

 $= r^2 \cdot \text{Winkelteil des Laplace-Operators}!$

ightarrow Winkelteil der Wellenfunktion, $Y_l^m(\Theta, \Phi)$ = Eigenfunktion von $\hat{\mathbf{L^2}}$

Mit dieser Einsicht können wir leicht Erwartungswerte von $\hat{\mathbf{L^2}}$ ausrechnen:

$$\left\langle \vec{L}^{2}\right\rangle = \int d\mathbf{x}^{3} \psi^{*} \hat{\mathbf{L}^{2}} \psi = \ell(\ell+1) \cdot \hbar^{2}, \ \ell \in \mathbb{N}_{0}$$

 \longrightarrow **Der Drehimpuls ist quantisiert**, ℓ ist die Bahndrehimpuls-Quantenzahl

$$\hat{\mathbf{L}^2} = \hat{\mathbf{L}_x^2} + \hat{\mathbf{L}_y^2} + \hat{\mathbf{L}_z^2} = -\hbar^2 \left(\frac{1}{\sin \Theta} \frac{\partial}{\partial \Theta} \left(\sin \Theta \frac{\partial}{\partial} \right) + \frac{1}{\sin^2 \Theta} \frac{\partial^2}{\partial \Phi^2} \right)$$

 $= r^2 \cdot \text{Winkelteil des Laplace-Operators}!$

ightarrow Winkelteil der Wellenfunktion, $Y_l^m(\Theta, \Phi)$ = Eigenfunktion von $\hat{\mathbf{L^2}}$

Mit dieser Einsicht können wir leicht Erwartungswerte von $\hat{\mathbf{L}^2}$ ausrechnen:

$$\left\langle \vec{L}^{2}\right\rangle = \int d\mathbf{x}^{3} \psi^{*} \hat{\mathbf{L}^{2}} \psi = \ell(\ell+1) \cdot \hbar^{2}, \ \ell \in \mathbb{N}_{0}$$

 \longrightarrow **Der Drehimpuls ist quantisiert**, ℓ ist die Bahndrehimpuls-Quantenzahl

Der Betrag des Drehimpulses ist eine Observable: $\left<|\vec{L}|\right> = \underbrace{\sqrt{\ell(\ell+1)}}_{\neq \ell!} \cdot \hbar$

z-Komponente des Drehimpulses:

$$\left\langle \vec{L}_z \right\rangle = \int \mathrm{d}\mathbf{x}^3 \psi^* \hat{\mathbf{L}}_{\mathbf{z}} \psi = \int \mathrm{d}\mathbf{x}^3 \psi^* \frac{\mathrm{h}}{\mathrm{i}} \frac{\partial}{\partial \varPhi} \psi = \mathrm{im} \frac{\hbar}{\mathrm{i}} = \mathrm{m} \cdot \hbar, \ -\ell \leq \mathrm{m} \leq \ell$$

$$\text{wegen } Y_l^m \propto P_l^m(\cos \Theta) \cdot \exp(im\Phi)$$

z-Komponente des Drehimpulses:

$$\left\langle \vec{L}_z \right\rangle = \int \mathrm{d}\mathbf{x}^3 \psi^* \hat{\mathbf{L}}_{\mathbf{z}} \psi = \int \mathrm{d}\mathbf{x}^3 \psi^* \frac{\mathrm{h}}{\mathrm{i}} \frac{\partial}{\partial \Phi} \psi = \mathrm{im} \frac{\hbar}{\mathrm{i}} = \mathrm{m} \cdot \hbar, \ -\ell \le \mathrm{m} \le \ell$$

$$\text{wegen } Y_l^m \propto P_l^m(\cos \Theta) \cdot \exp(im\Phi)$$

Die z-Komponente des Drehimpulses ist eine Observable: $\langle L_z
angle = m \cdot \hbar$

z-Komponente des Drehimpulses:

$$\left\langle \vec{L}_z \right\rangle = \int d\mathbf{x}^3 \psi^* \hat{\mathbf{L}}_{\mathbf{z}} \psi = \int d\mathbf{x}^3 \psi^* \frac{\mathbf{h}}{\mathbf{i}} \frac{\partial}{\partial \Phi} \psi = \operatorname{im} \frac{\hbar}{\mathbf{i}} = \mathbf{m} \cdot \hbar, \ -\ell \le \mathbf{m} \le \ell$$

$$\text{wegen } Y_l^m \propto P_l^m(\cos \Theta) \cdot \exp(im\Phi)$$

Die z-Komponente des Drehimpulses ist eine Observable: $\langle L_z
angle = m \cdot \hbar$

aber
$$\hat{\mathbf{L}}_{\mathbf{x}}\psi \neq c \cdot \psi, \ \hat{\mathbf{L}}_{\mathbf{y}}\psi \neq c \cdot \psi$$

 L_x und L_y sind keine Eigenwerte und damit keine Observablen, die zusammen mit L und L_z gleichzeitig scharf bestimmbar sind!

z-Komponente des Drehimpulses:

$$\left\langle \vec{L}_z \right\rangle = \int \mathrm{d}\mathbf{x}^3 \psi^* \hat{\mathbf{L}}_{\mathbf{z}} \psi = \int \mathrm{d}\mathbf{x}^3 \psi^* \frac{\mathrm{h}}{\mathrm{i}} \frac{\partial}{\partial \Phi} \psi = \mathrm{im} \frac{\hbar}{\mathrm{i}} = \mathrm{m} \cdot \hbar, \ -\ell \leq \mathrm{m} \leq \ell$$

$$\text{wegen } Y_l^m \propto P_l^m(\cos \Theta) \cdot \exp(im\Phi)$$

Die z-Komponente des Drehimpulses ist eine Observable: $\langle L_z
angle = m \cdot \hbar$

aber
$$\hat{\mathbf{L}}_{\mathbf{x}}\psi \neq c \cdot \psi, \ \hat{\mathbf{L}}_{\mathbf{y}}\psi \neq c \cdot \psi$$

 L_x und L_y sind keine Eigenwerte und damit keine Observablen, die zusammen mit L und L_z gleichzeitig scharf bestimmbar sind!

Anmerkung:
$$L_x^2+L_y^2=L^2-L_z^2$$
 ist eine scharf bestimme Observable:
$$\left\langle L_x^2+L_y^2\right\rangle=(\ell(\ell+1)-m^2)\hbar$$

z-Komponente des Drehimpulses:

$$\left\langle \vec{L}_z \right\rangle = \int d\mathbf{x}^3 \psi^* \hat{\mathbf{L}}_{\mathbf{z}} \psi = \int d\mathbf{x}^3 \psi^* \frac{\mathbf{h}}{\mathbf{i}} \frac{\partial}{\partial \Phi} \psi = \operatorname{im} \frac{\hbar}{\mathbf{i}} = \mathbf{m} \cdot \hbar, \ -\ell \le \mathbf{m} \le \ell$$

$$\text{wegen } Y_l^m \propto P_l^m(\cos \Theta) \cdot \exp(im\Phi)$$

Die z-Komponente des Drehimpulses ist eine Observable: $\langle L_z
angle = m \cdot \hbar$

aber
$$\hat{\mathbf{L}}_{\mathbf{x}}\psi \neq c \cdot \psi, \ \hat{\mathbf{L}}_{\mathbf{y}}\psi \neq c \cdot \psi$$

 L_x und L_y sind keine Eigenwerte und damit keine Observablen, die zusammen mit L und L_z gleichzeitig scharf bestimmbar sind!

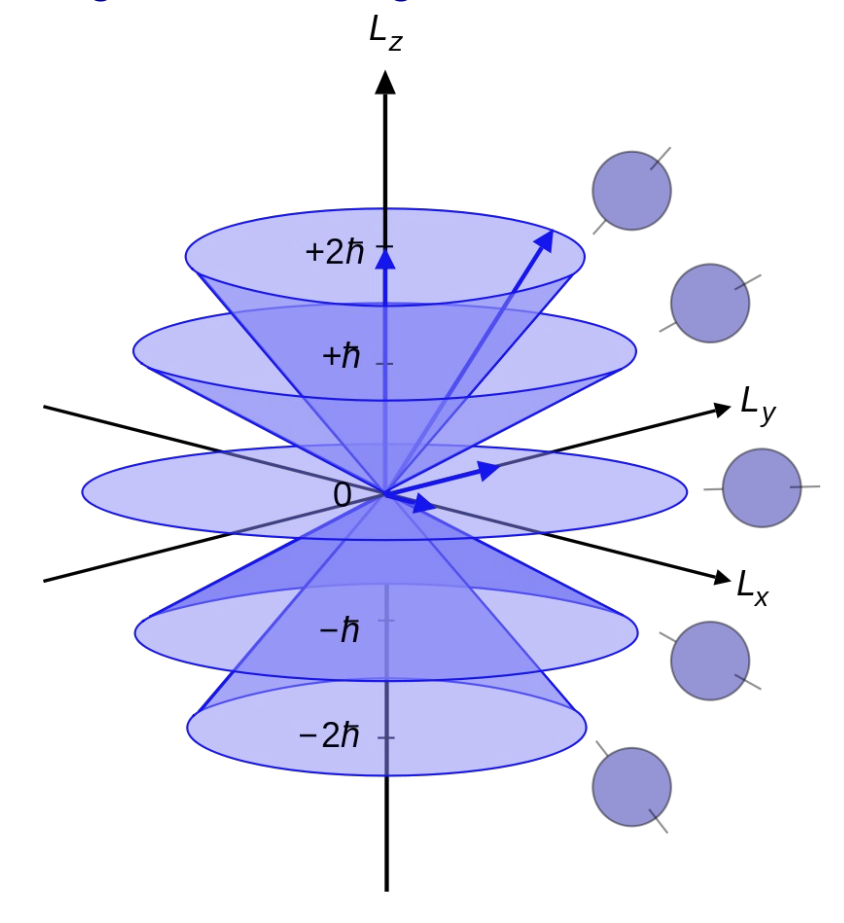
Anmerkung:
$$L_x^2+L_y^2=L^2-L_z^2$$
 ist eine scharf bestimme Observable:
$$\left\langle L_x^2+L_y^2\right\rangle=(\ell(\ell+1)-m^2)\hbar$$

Wenn der Hamilton-Operator zeitunabhängig ist, sind Betragsquadrat und *z*-Komponente des Drehimpulses gleichzeitig Eigenwerte und zeitlich konstant.

(anschauliches) Physikalisches Bild:

- z-Achse definiert eine Vorzugsrichtung (z.B. Richtung eines Magnetfelds)
 "Quantisierungsachse"
- anschaulich kann man sich vorstellen, dass der Drehimpulsvektor um diese Richtung präzediert
 - $\rightarrow L_x$ und L_y unbestimmt

Mögliche Richtungen des L-Vektors

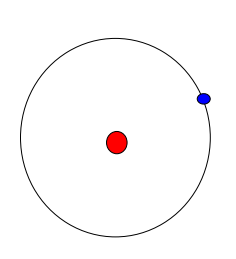


Länge: $\sqrt{\ell(\ell+1)}\hbar$

Projektion auf

z-Achse: $m\hbar, -\ell \leq m \leq \ell$

Der Drehimpuls ist mit einem magnetischen Moment verknüpft



klassisch: Elektron auf Kreisbahn mit Umlaufzeit T

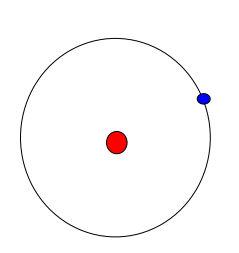
Strom
$$I = -e/T$$
, $T=2 r \pi / v$

Fläche:
$$A = \pi r^2$$

Magnetisches Momet
$$\mu = I \cdot A = -e/(2m) \cdot L$$

analog in QM:

Der Drehimpuls ist mit einem magnetischen Moment verknüpft



klassisch: Elektron auf Kreisbahn mit Umlaufzeit T

Strom
$$I = -e/T$$
, $T=2 r \pi / v$

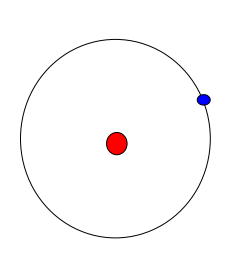
Fläche:
$$A = \pi r^2$$

Magnetisches Momet
$$\mu = I \cdot A = -e/(2m) \cdot L$$

analog in QM: Magnetisches Moment durch Bahndrehimpuls

$$ec{\mu}_L = -rac{e}{2m_e}ec{L}$$
 , $\mu_z = -rac{e}{2m_e}\cdot L_z$

Der Drehimpuls ist mit einem magnetischen Moment verknüpft



klassisch: Elektron auf Kreisbahn mit Umlaufzeit T

Strom
$$I = -e/T$$
, $T=2 r \pi / v$

Fläche:
$$A = \pi r^2$$

Magnetisches Momet
$$\mu = I \cdot A = -e/(2m) \cdot L$$

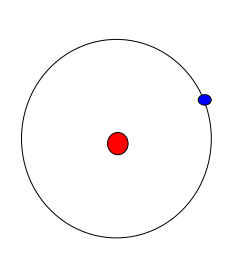
analog in QM: Magnetisches Moment durch Bahndrehimpuls

$$ec{\mu}_L = -rac{e}{2m_e}ec{L}$$
 , $\mu_z = -rac{e}{2m_e}\cdot L_z$

Dieses Magnetische Moment ist messbar in externem B-Feld:

es führt zur **Aufspaltung von Energieniveaus** mit unterschiedlichem *m*

Der Drehimpuls ist mit einem magnetischen Moment verknüpft



klassisch: Elektron auf Kreisbahn mit Umlaufzeit T

Strom
$$I = -e/T$$
, $T=2 r \pi / v$

Fläche:
$$A = \pi r^2$$

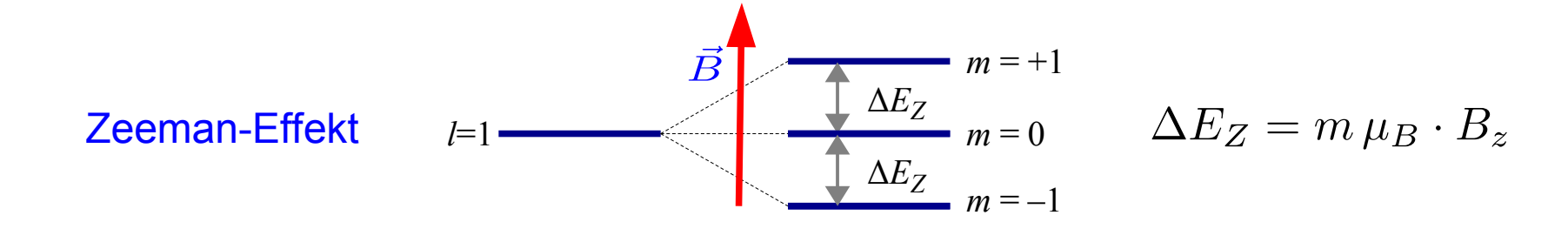
Magnetisches Momet
$$\mu = I \cdot A = -e/(2m) \cdot L$$

analog in QM: Magnetisches Moment durch Bahndrehimpuls

$$ec{\mu}_L = -rac{e}{2m_e}ec{L}$$
 , $\mu_z = -rac{e}{2m_e}\cdot L_z$

Dieses Magnetische Moment ist messbar in externem B-Feld:

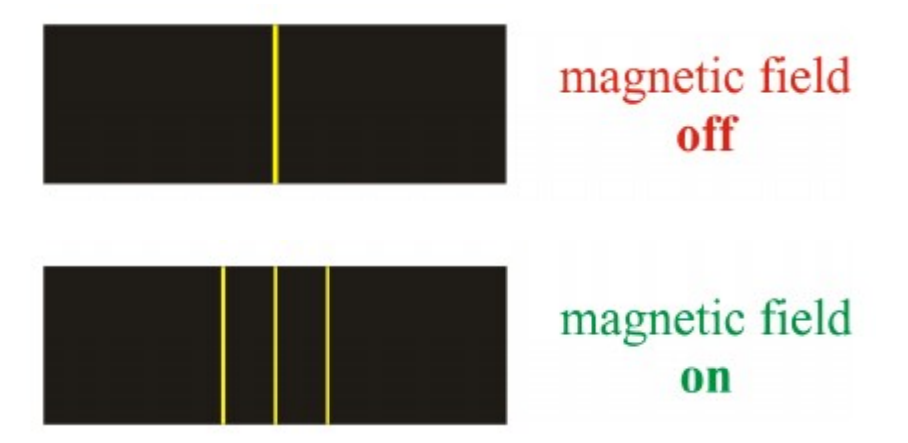
es führt zur Aufspaltung von Energieniveaus mit unterschiedlichem m



$$\mu_B = \frac{e\hbar}{2m_s} = 9.27 \cdot 10^{-24} \, \mathrm{J/T}$$
 nennt man das "Bohr'sche Magneton"

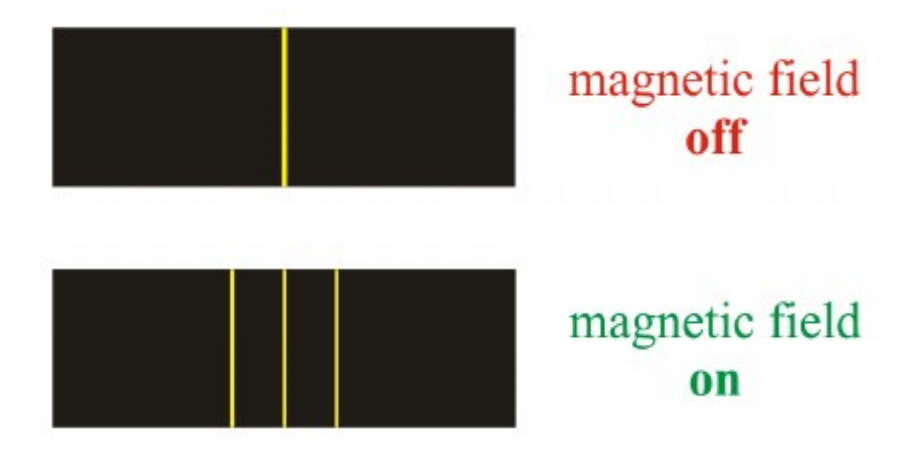
Magnetisches Moment: Zeeman - Effekt

Beobachtung einer Spektrallinie:

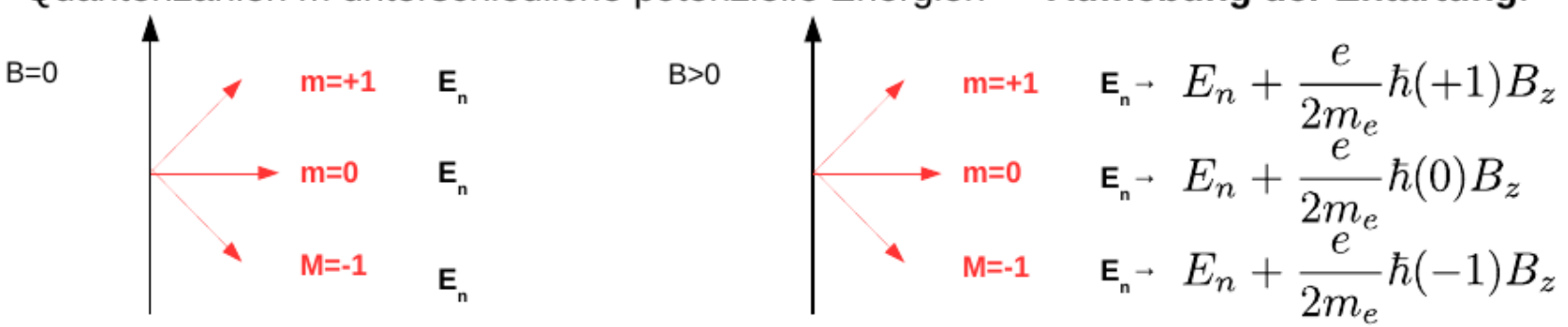


Magnetisches Moment: Zeeman - Effekt

Beobachtung einer Spektrallinie:



Erklärung: Im externen Magnetfeld erhalten Zustände mit unterschiedlichen Quantenzahlen m unterschiedliche potenzielle Energien → **Aufhebung der Entartung**:



Erinnerung Startpunkt:
$$\frac{1}{R}\frac{\partial}{\partial r}\left(r^2\frac{\partial R}{\partial r}\right) + + \frac{2\mu}{\hbar^2}\left(E - V(r)\right)r^2 = C_2 = \ell(\ell+1)$$

Radialteil der H-Wellenfunktion

Erinnerung Startpunkt:
$$\frac{1}{R}\frac{\partial}{\partial r}\left(r^2\frac{\partial R}{\partial r}\right) + + \frac{2\mu}{\hbar^2}\left(E - V(r)\right)r^2 = C_2 = \ell(\ell+1)$$

Lösungsskizze:

Ansatz
$$R(r) = u(r) \exp(-\kappa r) \min \kappa^2 = \frac{2\mu E}{\hbar^2}$$

 \rightarrow neue Dgl. für u(r): Laguerre'sche Dgl \rightarrow Laguerre-Polynome

Radialteil der H-Wellenfunktion

Erinnerung Startpunkt:
$$\frac{1}{R}\frac{\partial}{\partial r}\left(r^2\frac{\partial R}{\partial r}\right) + + \frac{2\mu}{\hbar^2}\left(E - V(r)\right)r^2 = C_2 = \ell(\ell+1)$$

Lösungsskizze:

Ansatz
$$R(r) = u(r) \exp(-\kappa r) \min \kappa^2 = \frac{2\mu E}{\hbar^2}$$

 \rightarrow neue Dgl. für u(r): Laguerre'sche Dgl \rightarrow Laguerre-Polynome

Ansatz:
$$u(r) = \sum_{j=0}^{N} a_j r^j$$

Erinnerung Startpunkt:
$$\frac{1}{R}\frac{\partial}{\partial r}\left(r^2\frac{\partial R}{\partial r}\right) + + \frac{2\mu}{\hbar^2}\left(E - V(r)\right)r^2 = C_2 = \ell(\ell+1)$$

Lösungsskizze:

Ansatz
$$R(r) = u(r) \exp(-\kappa r) \min \kappa^2 = \frac{2\mu E}{\hbar^2}$$

 \rightarrow neue Dgl. für u(r): Laguerre'sche Dgl \rightarrow Laguerre-Polynome

Ansatz:
$$u(r) = \sum_{j=0}^{N} a_j r^j$$

 \rightarrow Rekursionsformel für a_i mit Abbruchbedingung

Radialteil der H-Wellenfunktion

Erinnerung Startpunkt:
$$\frac{1}{R}\frac{\partial}{\partial r}\left(r^2\frac{\partial R}{\partial r}\right) + \frac{2\mu}{\hbar^2}\left(E - V(r)\right)r^2 = C_2 = \ell(\ell+1)$$

Lösungsskizze:

Ansatz
$$R(r) = u(r) \exp(-\kappa r) \min \kappa^2 = \frac{2\mu E}{\hbar^2}$$

 \rightarrow neue Dgl. für u(r): Laguerre'sche Dgl \rightarrow Laguerre-Polynome

Ansatz:
$$u(r) = \sum_{j=0}^{N} a_j r^j$$

- \rightarrow Rekursionsformel für a_i mit Abbruchbedingung
 - → Energiequantisierug

$$E_N = -\frac{\mu e^4}{2(4\pi\epsilon_0)^2 \hbar^2 (N + \ell + 1)^2} = -\frac{\mu e^4}{2(4\pi\epsilon_0)^2 \hbar^2 n^2}$$

n: Hauptquantenzahl bestimmt Energie

Radialteil der H-Wellenfunktion

Erinnerung Startpunkt:
$$\frac{1}{R} \frac{\partial}{\partial r} \left(r^2 \frac{\partial R}{\partial r} \right) + \frac{2\mu}{\hbar^2} \left(E - V(r) \right) r^2 = C_2 = \ell(\ell+1)$$

Lösungsskizze:

Ansatz
$$R(r) = u(r) \exp(-\kappa r) \min \kappa^2 = \frac{2\mu E}{\hbar^2}$$

 \rightarrow neue Dgl. für u(r): Laguerre'sche Dgl \rightarrow Laguerre-Polynome

Ansatz:
$$u(r) = \sum_{j=0}^{N} a_j r^j$$

- \rightarrow Rekursionsformel für a_i mit Abbruchbedingung
 - → Energiequantisierug

$$E_N = -\frac{\mu e^4}{2(4\pi\epsilon_0)^2 \hbar^2 (N + \ell + 1)^2} = -\frac{\mu e^4}{2(4\pi\epsilon_0)^2 \hbar^2 n^2}$$

n: Hauptquantenzahl bestimmt Energie



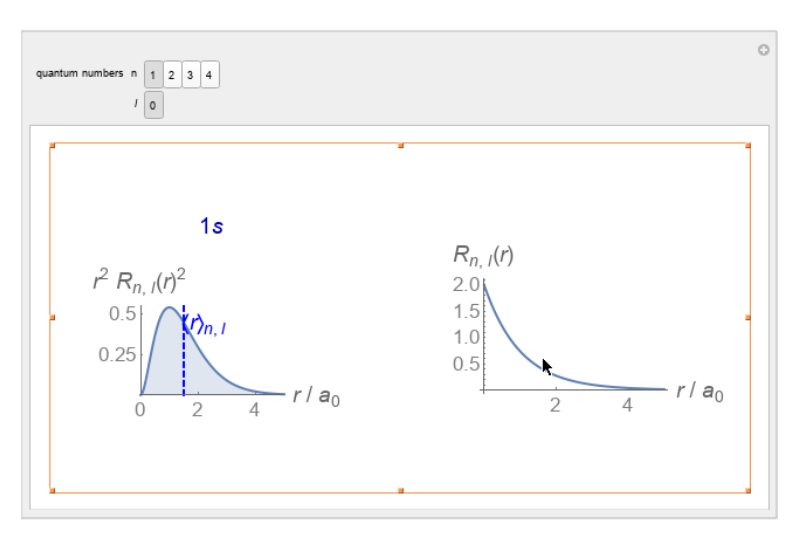
Darstellung der Radialfunktion

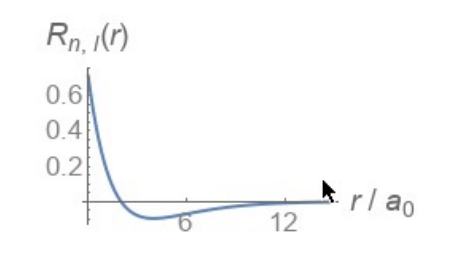
 $r^2 R_{n, l}(r)^2$

0.15

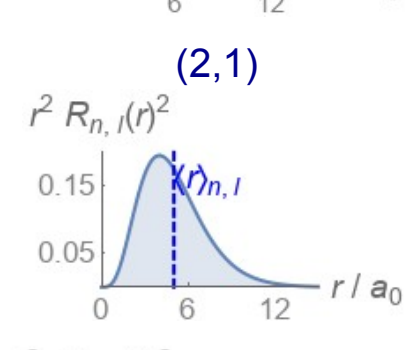
0.05

Hydrogen Atom Radial Functions





(2,0)



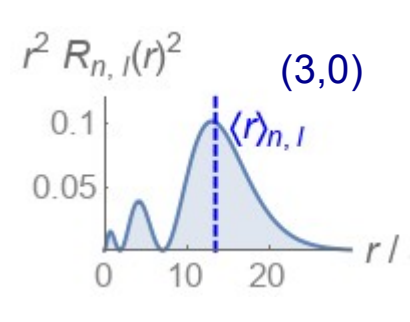
 $R_{n,l}(r)$

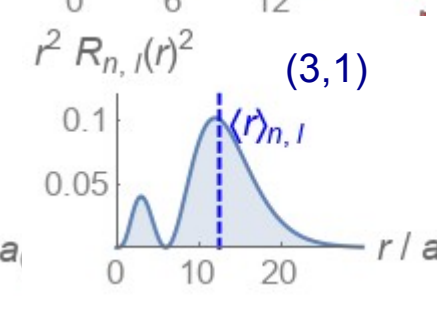
0.10

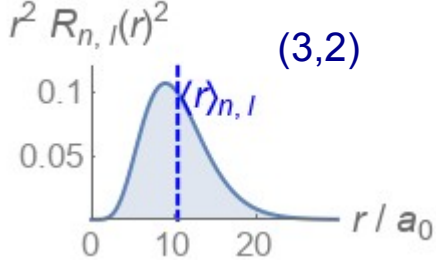
0.05

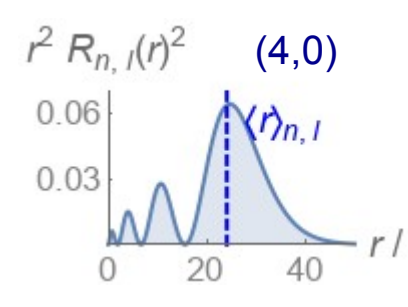


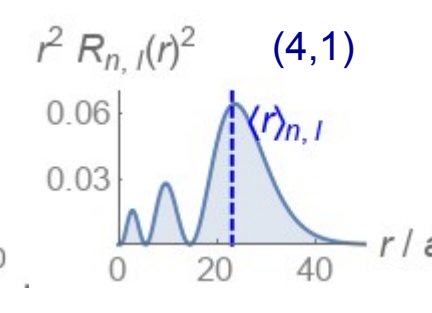
– Faktor r^2 wegen $\mathrm{dV} \propto \mathrm{r}^2 \mathrm{dr}$

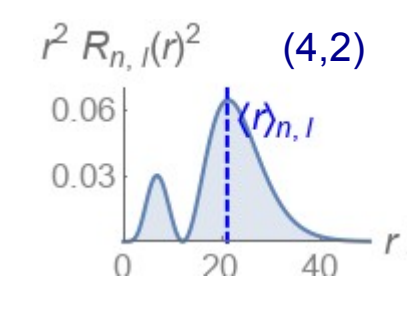


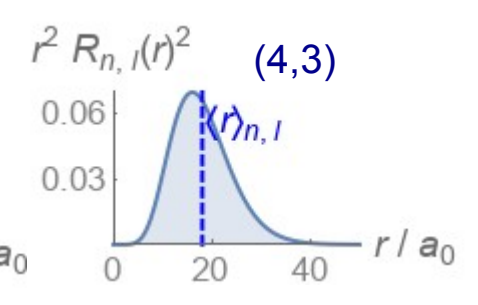












Darstellung der Radialfunktionen

Tabelle 5.1 Die normierten radialen Eigenfunktionen R(r) (*Laguerre-Polynome*) für ein Elektron im Coulomb-Potential ($N=(Z/na_0)^{3/2}, x=Zr/na_0, a_0=4\pi\,\epsilon_0\hbar^2/\mu\,e^2$)

n	1	$R_{n,l}(r)$
1	0	$2Ne^{-x}$
2	0	$2Ne^{-x}(1-x)$
2	1	$\frac{2}{\sqrt{3}} N e^{-x} x$
3	0	$2Ne^{-x}\left(1-2x+\frac{2x^2}{3}\right)$
3	1	$\frac{2}{3}\sqrt{2}N\mathrm{e}^{-x}x(2-x)$
3	2	$\frac{4}{3\sqrt{10}}Ne^{-x}x^2$
4	0	$2Ne^{-x}\left(1 - 3x + 2x^2 - \frac{x^3}{3}\right)$
4	1	$2\sqrt{\frac{5}{3}}Ne^{-x}x\left(1-x+\frac{x^2}{5}\right)$
4	2	$2\sqrt{\frac{1}{5}}Ne^{-x}x^2\left(1-\frac{x}{3}\right)$
4	3	$\frac{2}{3\sqrt{35}}Ne^{-x}x^3$

$$\psi_{n,\ell,m}(r,\vartheta,)$$

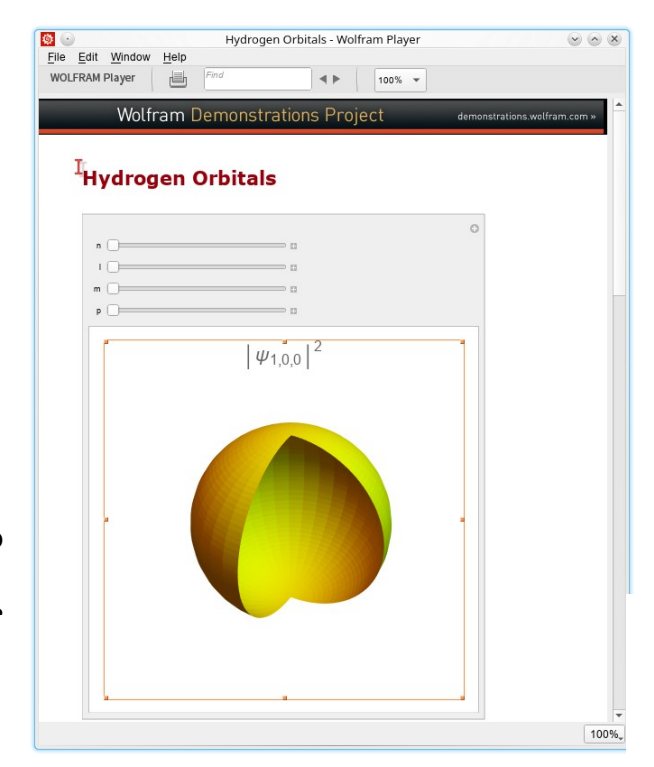
n	1	m	Eigenfunktionen $\psi_{n,l,m}(r,\vartheta,\varphi)$
1	0	0	$\frac{1}{\sqrt{\pi}} \left(\frac{Z}{a_0}\right)^{3/2} e^{-Zr/a_0}$
2	0	0	$\frac{1}{4\sqrt{2\pi}} \left(\frac{Z}{a_0}\right)^{3/2} \left(2 - \frac{Zr}{a_0}\right) e^{-Zr/2a_0}$
2	1	0	$\frac{1}{4\sqrt{2\pi}} \left(\frac{Z}{a_0}\right)^{3/2} \frac{Zr}{a_0} e^{-Zr/2a_0} \cos \vartheta$
2	1	±1	$\frac{1}{8\sqrt{\pi}} \left(\frac{Z}{a_0}\right)^{3/2} \frac{Zr}{a_0} e^{-Zr/2a_0} \sin \vartheta e^{\pm i\varphi}$
3	0	0	$\frac{1}{81\sqrt{3\pi}} \left(\frac{Z}{a_0}\right)^{3/2} \left(27 - 18\frac{Zr}{a_0} + 2\frac{Z^2r^2}{a_0^2}\right) e^{-Zr/3a_0}$
3	1	0	$\frac{\sqrt{2}}{81\sqrt{\pi}} \left(\frac{Z}{a_0}\right)^{3/2} \left(6 - \frac{Zr}{a_0}\right) \frac{Zr}{a_0} e^{-Zr/3a_0} \cos \vartheta$
3	1	±1	$\frac{1}{81}\sqrt{\frac{2}{\pi}}\left(\frac{Z}{a_0}\right)^{3/2}\left(6-\frac{Zr}{a_0}\right)\frac{Zr}{a_0}e^{-Zr/3a_0}\sin\vartheta e^{\pm i\varphi}$
3	2	0	$\frac{1}{81\sqrt{6\pi}} \left(\frac{Z}{a_0}\right)^{3/2} \frac{Z^2 r^2}{a_0^2} e^{-Zr/3a_0} (3\cos^2\vartheta - 1)$
3	2	±1	$\frac{1}{81\sqrt{\pi}} \left(\frac{Z}{a_0}\right)^{3/2} \frac{Z^2 r^2}{a_0^2} e^{-Zr/3a_0} \sin \vartheta \cos \vartheta e^{\pm i\varphi}$
3	2	±2	$\frac{1}{162\sqrt{\pi}} \left(\frac{Z}{a_0}\right)^{3/2} \frac{Z^2 r^2}{a_0^2} e^{-Zr/3a_0} \sin^2 \vartheta e^{\pm 2i\varphi}$

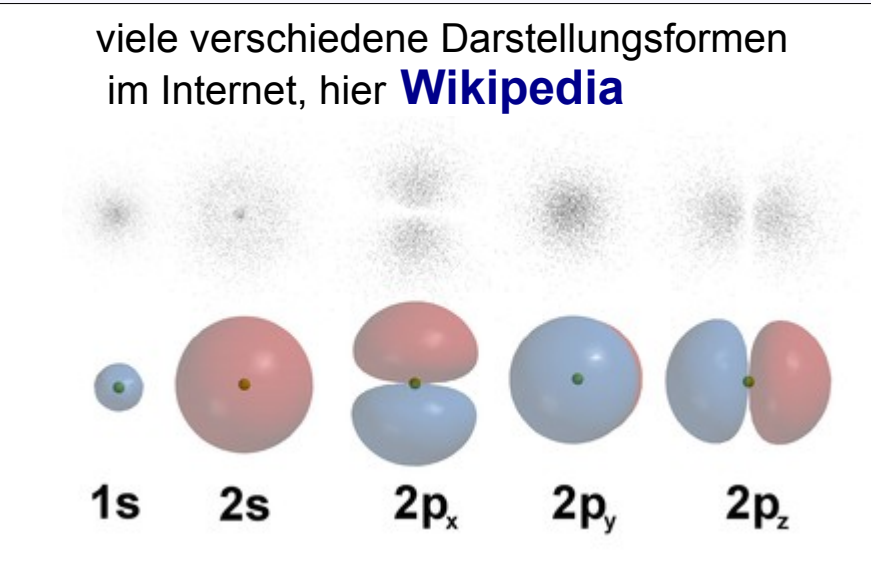
https://de.wikipedia.org/wiki/Atomorbital

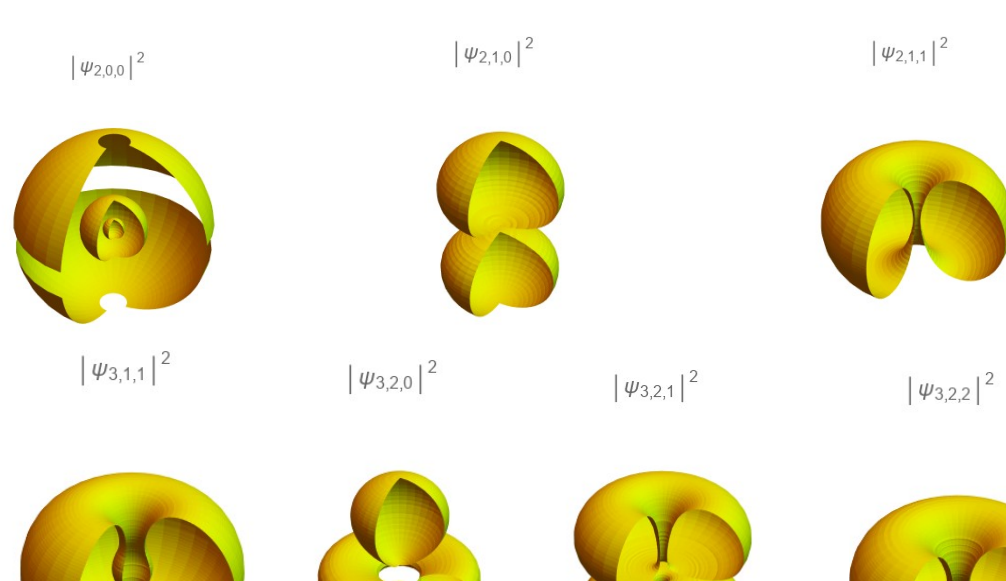
https://demonstrations.wolfram.com/ HydrogenOrbitals.cdf

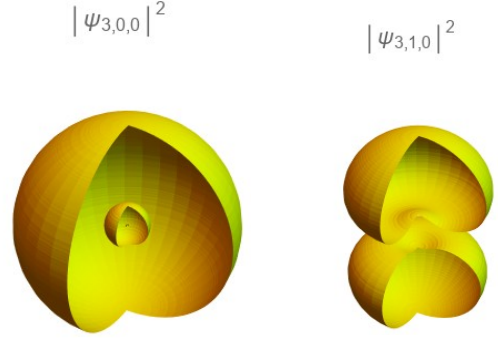
Wasserstoff-Wellenfunktionen: Darstellung

Interaktiv mit Wolfram cdf-Player









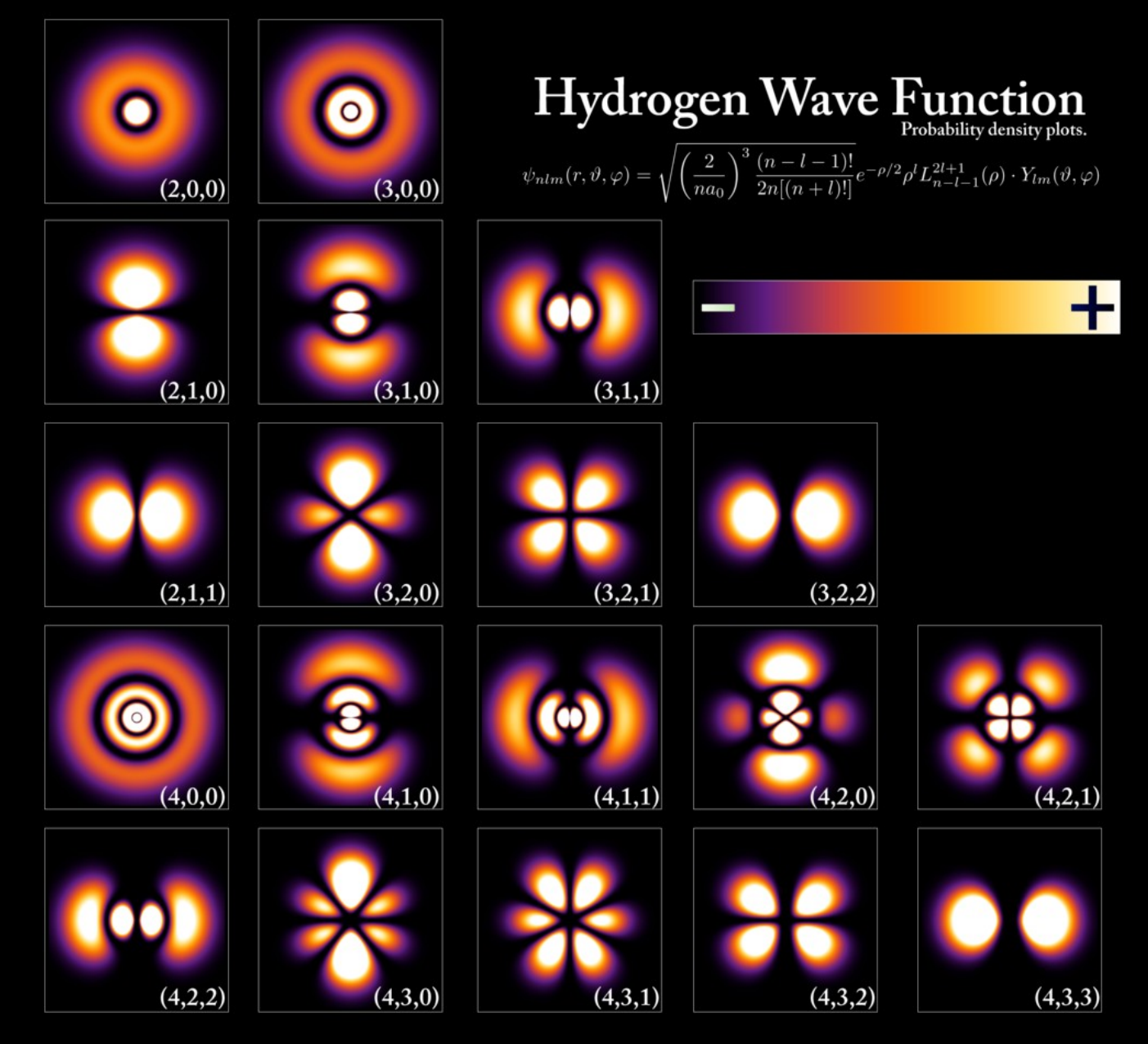








Wasserstoff-Wellenfunktionen: Darstellung (2)



Aufenthaltswahrscheinlichkeit des Elektrons als Helligkeitswert

VL 12: Das Wasserstoffatom (2)

Kurze Zusammenfassung:

- Wellenfunktion des Wasserstoffatoms: ψ(r, θ, φ) = R(r) T(θ) P(φ)
 - Winkelteil: gelöst durch Kugelflächenfunktionen Y_I^m (θ, ϕ)
 - Radialteil: gelöst durch Laguerre-Polynome
- Quantenmechanischer Drehimpuls:
 - Wellenfunktionen, die stationäre Schrödingergleichung lösen, sind auch Eigenfunktionen von L² und L₂ → zeitlich konstant
 - Mit z-Achse als Quantisierungsachse: L² und Lz messbar
- Quantenzahlen:
 - Hauptquantenzahl n (natürliche Zahlen)
 - Drehimpulsquantenzahl / (natürliche Zahlen und 0)
 - Magnetische Quantenzahl m mit $-I \le m \le I$
 - (Radialquantenzahl N = n l 1 (natürliche Zahlen und 0))

Ende VL10

und Zeit für Fragen?